



appunti
www.centroappunti.it

Corso Luigi Einaudi, 55/B - Torino

Appunti universitari

Tesi di laurea

Cartoleria e cancelleria

Stampa file e fotocopie

Print on demand

Rilegature

NUMERO: 2266A

ANNO: 2018

A P P U N T I

STUDENTE: Velardi Marco

MATERIA: Idraulica - Teoria + Esercitazioni - Prof. Boano

Il presente lavoro nasce dall'impegno dell'autore ed è distribuito in accordo con il Centro Appunti.

Tutti i diritti sono riservati. È vietata qualsiasi riproduzione, copia totale o parziale, dei contenuti inseriti nel presente volume, ivi inclusa la memorizzazione, rielaborazione, diffusione o distribuzione dei contenuti stessi mediante qualunque supporto magnetico o cartaceo, piattaforma tecnologica o rete telematica, senza previa autorizzazione scritta dell'autore.

ATTENZIONE: QUESTI APPUNTI SONO FATTI DA STUDENTI E NON SONO STATI VISIONATI DAL DOCENTE.
IL NOME DEL PROFESSORE, SERVE SOLO PER IDENTIFICARE IL CORSO.

IDRAULICA

2-10-17

PROPRIETÀ FISICHE DEI FLUIDI

Approccio è meccanica del continuo. Rapporto dovuto sono le molecole di un gran numero di molecole. Considera la portata fluida. Non sono elementi separati; ma sono continuo.

DENSITÀ / PESO SPECIFICO

Densità; $\rho = \frac{\text{massa}}{\text{volume}} \quad \left[\frac{\text{kg}}{\text{m}^3} \right]$

Peso specifico; $\gamma = \frac{\text{peso}}{\text{volume}} = \frac{(\text{massa}) \cdot g}{\text{volume}} = \rho \cdot g \quad \left[\frac{\text{N}}{\text{m}^3} \right]$

Si vedono alcuni valori tipici a pressione e temperatura ambiente:

$$\rho_{aria} \approx 1.2 \quad [\text{kg/m}^3] \quad \gamma_{aria} \approx 11 \quad \left[\frac{\text{N}}{\text{m}^3} \right]$$

$$\rho_{acqua} \approx 1000 \quad [\text{kg/m}^3] \quad \gamma_{acqua} \approx 9800 \quad \left[\frac{\text{N}}{\text{m}^3} \right] \quad \rho_{acqua} \approx \rho_{gas}$$

I gas di norma sono molto più leggeri che i liquidi;

↳ forza peso
gas trascurabile

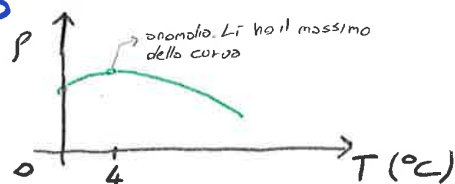
↓
non trascurabile
forza peso

In genere pressione e temperatura incideano di più $\rightarrow \rho = \rho(P, T)$

$$\rightarrow T; \text{ per } T \uparrow, \rho \downarrow \quad \boxed{\text{gas: } \frac{P}{\rho} = RT} \quad [R: \frac{\text{R}^{\text{costante}}}{\text{peso molecolare}}]$$

↳ dipende
da tipo fluido

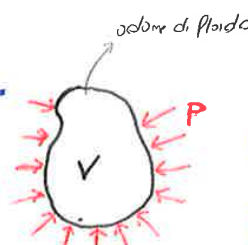
Le eccezioni: H_2O



Liquidi: per $\Delta T = 0$ ($10^\circ C$) $\rightarrow \rho_{acqua}$ cost. fino a variazioni di T a $10^\circ C$.

$\rightarrow P$; si veda la **comprimibilità**

proprietà per cui
gas e liquidi si
differenziano



avvenire perché da
 $P \rightarrow P + dP$
sottrarre volume da V
 $\rightarrow V + dV$
 $\rightarrow 0$

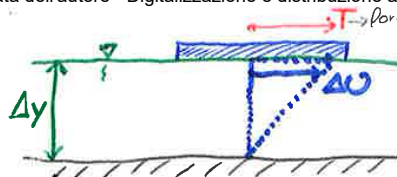
$$\text{se prendo: } \frac{dV}{V} = \frac{dp}{E}$$

variazione
volume
della
portata

E : coefficiente elastico volumetrico
(E grande \leftrightarrow fluido poco compressibile)

$$E = Pa = \frac{N}{ne}$$

es.



Ogni strato si muove più piano di quello sottostante. Se voglio muovere il volo devo continuare ad imporre la forza, di cosa dipende la velocità →

 $T [N]$

$$T = \mu \cdot A \cdot \frac{\Delta U}{\Delta y}$$

↓
coeff. viscosità

$$\rightarrow \text{effetto laminare}: \bar{z} = \frac{T}{A} \quad \bar{z} = \frac{N}{m^2}$$

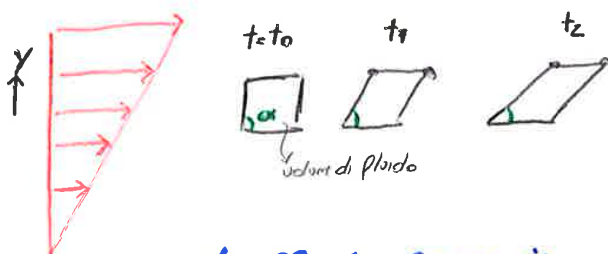
questo è tangenziale,
non ⊥ core P

$$\downarrow \text{quindi: } \bar{z} = \mu \frac{\Delta U}{\Delta y}$$

pendolare linea.
Dunque profilo
velocità:

In genere: $\bar{z} = \mu \frac{dU}{dy}$ legge di Newton

↳ esprimo slarsi tangenziali
in funzione derivata della
velocità.



Con slarsi nel fluido nasce una velocità di deformazione.

$$\dot{\alpha} = \frac{d\alpha}{dt} = \frac{dU}{dy}$$

Nel fluido $\bar{z} \leftrightarrow \dot{\alpha}$
no nei solidi

$$z = \mu \cdot \dot{\alpha}$$

↳ altro modo per esprimere
legge di Newton

Se $\frac{dU}{dy} > 0$ angolo non è deformabile, ovvero
quindi gradiente di velocità.

μ : coeff. di viscosità dinamica $\left[\frac{N \cdot s}{m^2} \right]$

ν : coeff. di accartocciamento cinematico $\nu = \frac{\mu}{\rho} \left[\frac{m^2}{s} \right]$

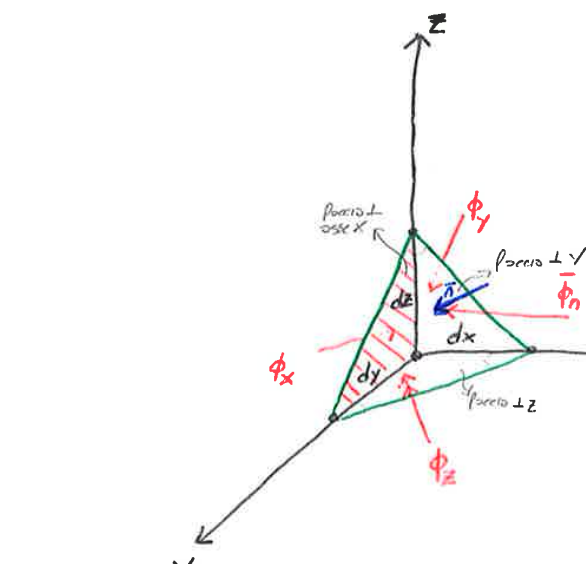
$$\mu_{\text{vetro}} = 10^{-3} \left[\frac{N \cdot s}{m^2} \right] \quad \nu = 10^{-6} \left[\frac{m^2}{s} \right]$$

($T = T_{\text{amb}}$)

$$\mu_{\text{acqua}} = 10^{-3} \left[\frac{N \cdot s}{m^2} \right] \quad \nu = 10^{-5} \left[\frac{m^2}{s} \right]$$

μ è più applicabile, ν è legato al corpo d'acqua cioè com'è mosso il fluido. Da noto l'angolo o l'intervallo d'angolo ν .

Per forza est:



$$\bar{n} = \begin{bmatrix} \cos \hat{\phi}_x \\ \cos \hat{\phi}_y \\ \cos \hat{\phi}_z \end{bmatrix}$$

sempre opposto ad un
angolo negativo relativi per
le altre facce.

$$\cdot \cos \hat{\phi}_x, \cos \hat{\phi}_y, \cos \hat{\phi}_z < 0$$

perché angoli > 90°

è perciò esterno.

• dA: ora superficie con area $\bar{d}A$
 $dA_x: \dots$ "normale ad x "

$dA_y: \dots$

$dA_z: \dots$

• orientazione della superficie su
piano yz .

$$\begin{cases} dA_x = -dA \cos \hat{\phi}_x \\ dA_y = -dA \cos \hat{\phi}_y \\ dA_z = dA \cos \hat{\phi}_z \end{cases}$$

cosi dire positive

Dato forza di bilancio di forze.

Fondone di Volume $\propto dxdydz \rightarrow$ infinitesimo ordine 3) \rightarrow trascurabile rispetto ad ordine 2.

Fondone di Superficie $\propto dxdy$

L'infinitesimo ordine
che prendo

\rightarrow infinitesimo ordine 2)

Fondone \propto Fondone di Superficie

Calcolo Fondone: $[dA] \quad \bar{\phi}_n dA$

$$[dA_x] \quad \bar{\phi}_x dA_x = -\bar{\phi}_x dA \cos \hat{\phi}_x$$

$$[dA_y] \quad \bar{\phi}_y dA_y = -\bar{\phi}_y dA \cos \hat{\phi}_y$$

$$[dA_z] \quad \bar{\phi}_z dA_z = -\bar{\phi}_z dA \cos \hat{\phi}_z$$

$$\text{Ora bilancio: } \sum F_{\text{sup}} = 0 \rightarrow \bar{\phi}_x dA - \bar{\phi}_x dA \cos \hat{\phi}_x - \bar{\phi}_y dA \cos \hat{\phi}_y -$$

per equilibrio

$$- \bar{\phi}_z dA \cos \hat{\phi}_z = 0$$

Ho affatto avuto faccia a cosa degli
angoli.

$$\bar{\phi}_n = \bar{\phi}_x \cos \hat{\phi}_x + \bar{\phi}_y \cos \hat{\phi}_y + \bar{\phi}_z \cos \hat{\phi}_z$$

teorema del tetraedro di Cauchy

Se voglio $\bar{\phi}_n$ in qualunque punto del fluido lo faccio conoscere le
sfere: Noti $\bar{\phi}_x, \bar{\phi}_y, \bar{\phi}_z \rightarrow$ trovo $\bar{\phi}_n$ per qualunque sia la giacitura \bar{n} .

3

$$\vec{f}_n = \vec{\phi} \vec{n} = \begin{bmatrix} \sigma_x \cos \hat{x} \\ \sigma_y \cos \hat{y} \\ \sigma_z \cos \hat{z} \end{bmatrix}$$

ma avremo anche $\vec{f}_n = \sigma_n \vec{n} = \begin{bmatrix} \sigma_n \cos \hat{x} \\ \sigma_n \cos \hat{y} \\ \sigma_n \cos \hat{z} \end{bmatrix}$

Cortanto i due risultati e quindi dobbiamo avere $\sigma_x = \sigma_y = \sigma_z = \sigma_n = p$

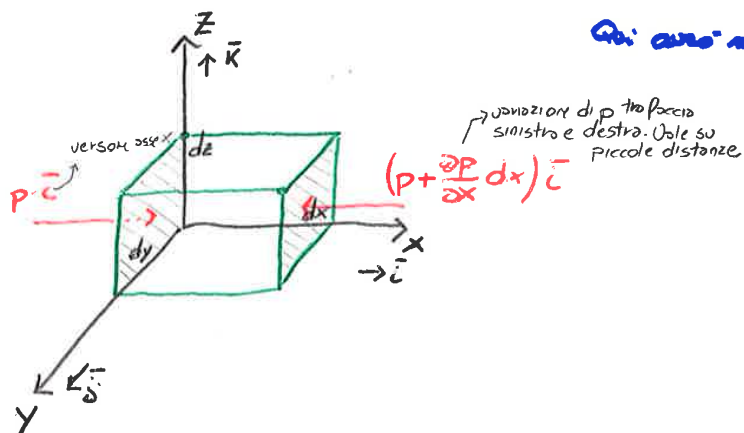
N.B. **{ Il suo modulo è sempre lo stesso in qualunque modo sia girata la superficie. Così la sforzo normale non dipende dalla giacitura.**

↓
pressione
del fluido
in quel punto

\uparrow
**stato tensionale
isotropo**

$$p = p(x, y, z)$$

I problemi di statica dei fluidi hanno una sola incognita, p .
Dove calcolare come vuoi e non servono relazioni.
equazione indefinita della statica



Qui c'è un'infinità di soluzioni che dipendono dalla superficie.

a) Forze di colonna/suora

Per ricavare introduco la **Forza di uona specifica** $F_m = \frac{\text{Forza}}{\text{massa}} = \frac{\rho g}{\rho} = g$ $\left[\frac{N}{kg} \right]$
 → $F_m = (\rho g) dx dy dz$

massa in parallelepipedo

b) Forze di superficie

Sta lungo x , se prima faccio $\int_0^L p \vec{i} dy dz - (p + \frac{\partial p}{\partial x} dx) \vec{i} dy dz =$
 solido a seconda. Cioè da
 una è la somma di
 funzione.

(x) $\int_0^L p \vec{i} dy dz - (p + \frac{\partial p}{\partial x} dx) \vec{i} dy dz =$

$$= - \frac{\partial p}{\partial x} \vec{i} dy dz$$

Poi con y

$$(y) - \frac{\partial p}{\partial y} \vec{j} dx dy dz$$

$$(z) - \frac{\partial p}{\partial z} \vec{k} dx dy dz$$

Osservazione su 2).

$$\hookrightarrow \text{Epd. grav.} = mgz \quad \text{Potenziale } U = \frac{E}{m} = gz$$

cost m svincolo
da massa

$$\bar{F}_{\text{grav}} = -\text{grad}(U) = -\text{grad}(gz) = -g\text{grad}(z)$$

cioè da potenziale
alto a basso

$$b) \text{grad}(z) = \begin{bmatrix} \frac{\partial z}{\partial x} \\ \frac{\partial z}{\partial y} \\ \frac{\partial z}{\partial z} \end{bmatrix} = \begin{bmatrix} 0 \\ 0 \\ 1 \end{bmatrix} \xrightarrow{\substack{\text{mi rialzo su } x \text{ e } y \\ \text{il verso di } z}} \text{verso alto verso one } z.$$

$$\bar{F}_{\text{grav}} = -g\text{grad}z = -g\vec{i} \quad \text{cara' forza è diretta verticalmente
e verso il basso con modulo } g.$$

$$\text{Ora } ① + ② \quad -pg\text{grad}(gz) = \text{grad}(P)$$

$$-pg\text{grad}(z) = \text{grad}(P)$$

l'pesospecifico

$$\text{grad}(z) + \frac{1}{\gamma} \text{grad}(P) = 0$$

δ è una costante per ①

$$\downarrow \quad \text{grad}(z) + \text{grad}\left(\frac{P}{\delta}\right) = 0 \quad \text{con raggruppo i gradienti}$$

$$\text{grad}\left(z + \frac{P}{\delta}\right) = 0 \quad \text{cioè la quantità } z + \frac{P}{\delta} \text{ deve essere costante nello spazio}$$

$$\downarrow \quad z + \frac{P}{\gamma} = \text{cost.} \quad \text{si dice così } P \text{ la pressione di } z. \\ \text{legge fra } P \text{ e } z.$$

Definisco **conico piezometrico** $b = z + \frac{P}{\gamma}$ con b cost. in x, y, z , da Stavino.

Le superfici con $p = \text{cost.}$ (isobare) sono di pieni orizzontali cioè $E = \text{cost.}$

$$\begin{array}{ccc} A & & z_A + \frac{P_A}{\gamma}, z_B + \frac{P_B}{\gamma} \quad \text{a voglio } P \text{ in uno dei due punti} \\ \downarrow & & \\ B & & P_B = P_A + \gamma \frac{(z_A - z_B)}{\Delta z} \\ & & \text{Parziali al denaro della quota.} \end{array}$$

• Pressione relativa

$$P_{\text{rel}} = P^{\text{ass}} - P_{\text{atm}} \quad \text{se condizioni di } P_{\text{atm}}: P_{\text{rel}} = 0$$

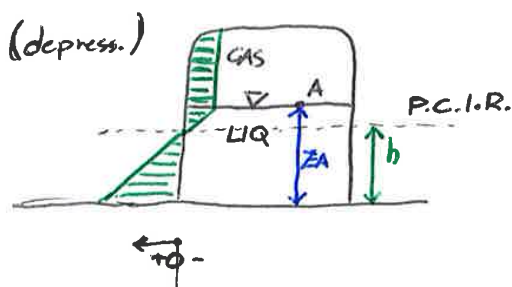
$\hookrightarrow \sim 1 \text{ [bar]}$

Se non disponiamo sopra a' varie supe' P_{rel} ,

$$0 < P^{\text{ass}} < +\infty \quad -P_{\text{atm}} < P_{\text{rel}} < +\infty$$

Se c'è gas: Punto A

$$h = z_A + \frac{P_{\text{gas}}}{\gamma_{\text{liquido}}}$$



E sono esempi di calcoli operati in precedenza.

Misure di pressione/canale piezometrico

→ piezometri

→ manometri; . semplici $h = \frac{\gamma_m}{\gamma} \Delta$

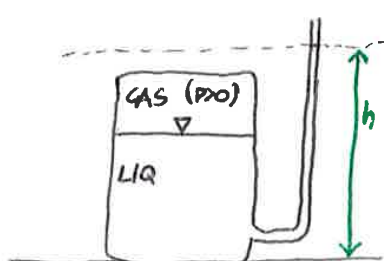
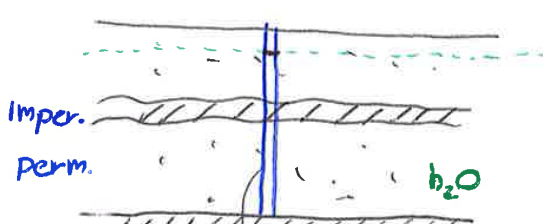
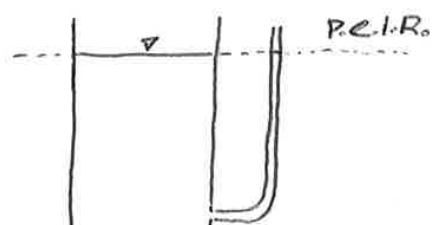
. differenziali $\Delta h = \frac{\gamma(\gamma_m - \gamma)}{\gamma}$ o $\Delta h = \Delta \frac{\gamma - \gamma_m}{\gamma}$

. di Bourdon
(metallico)

→ trasduttori di pressione

PIEZOMETRI

Sovraccarico il canale piezometrico, è un fluido collegato a destra da fluido. Diffuso è carico di sangue siero, se livello di acqua all'interno non varia facilmente a variazioni. Molto utile per le acque sotterranee.



MANOMETRO SEMPLICE

Liquido menzionato Dovendo $\gamma_{\text{maggiore}} > \gamma_{\text{minore}}$, è più profondo.
A ed A' a stessa quota. Il fondo $z=0$ è quello in A o A'?

$$P_A = \gamma \cdot h \quad P_{A'} = P_B + \gamma_m \Delta$$

In A e A' stessa quota al di sotto di P

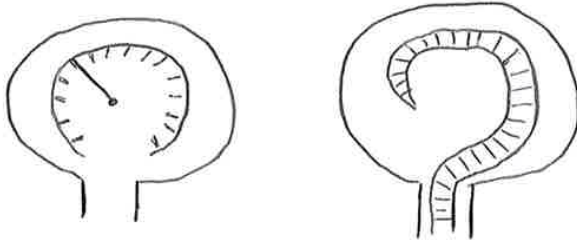
↳ $P_A = P_{A'}$ perché in stessa quota e sono fluidi (menzionato già).

$$\gamma \cdot h = \gamma_m \Delta \rightarrow h = \frac{\gamma_m}{\gamma} \Delta$$

Siccome $\Delta P < \delta$ viene positiva si e' di conseguenza $A > h$ (amplifica la differenza di livello quindi per misure piccole differenze di collasso).

Siccome $h = \text{cost.}$ per tutto il fluido, non importa se si guarda sia il punto di attacco, sia solo il δ del fluido (grado perdita di pressione corrispondente a differenza di collasso).

MANOMETRO BOORDON (o METALLICO)



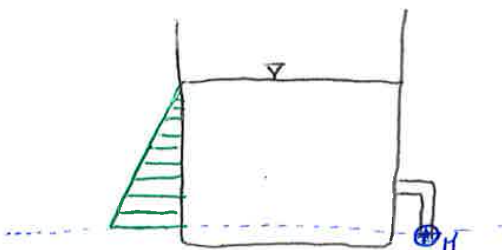
Dato il valore della pressione, non che collasso.

Dato si è in grado a spicale fino al fluido da misurare.

Con la pressione la spicale

si muove, e con degli ingranaggi alla stessa velocità coincide l'indirizzio della lancetta.

Siccome misura la pressione bisogna fare attenzione a dare la si prende in quanto si sposta alla guida del lancetto del manometro. Conta la posizione di H , non il punto di attacco del tubo.

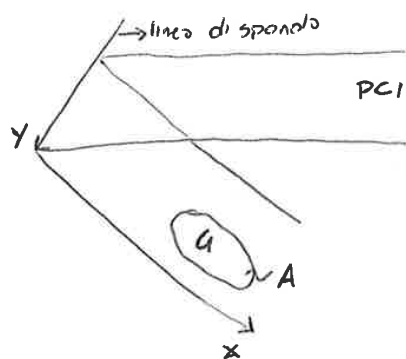


TRASDUTTORE DI PRESSIONE

Ciuchello con materiali θ con proprietà sovra o sotto di variazione della pressione (conta resistenza minima o si genera differenza di potenziale). Tali materiali si chiamano piezoelettrici. Si dà in uscita un segnale di corrente o di tensione in funzione della pressione $\Delta V = P(P)$, $I = P(P)$.

Il segnale deve essere collassato ma ogni tanto bisogna collassarlo. Per farlo si può usare un altro collassato o con altri strumenti di misurazione pressione.

3D



$$N.B. \rightarrow dS = \rho_n dA = \rho dA = \gamma_a dA =$$

↓ vede sempre ↓
 siccome in statica $\rho_n = \rho$
 ↓ lega lo spinto alla posizione
 momento statico ↑
 ↑ pressione nel baricentro

Integrandi

$$S = \int dS = \int \gamma_a dA = \gamma_a \int x dA =$$

$$= \gamma_a \int x q_g A = \gamma_a q_g A \rightarrow S = P_g A$$

↓ $M_y = x q_g A$ ↓ q_g : affondamento del baricentro
 ↑ pressione nel baricentro

Quindi la spinta su un'superficie piana è data da $S = P_g A$. La posizione della spinta è importante perché si può guadare una soluzione, perciò bisogna calcolare il momento della spinta (che è pari all'integrazione dei vari momenti infinitesimi).

Il momento viene fatto rispetto alla linea di sponda.

$$S \cdot x_c = \int x dS = \gamma_a \int x^2 dA$$

momento di S espliato dS A
 ↓ I_y

$$S \cdot y_c = \int y dS = \gamma_a \int xy dA$$

A
 ↓ I_{xy}

Dalla prima relazione ricava $x_c = \frac{\gamma_a \int x^2 dA}{S} = \frac{\gamma_a \int x^2 dA}{\gamma_a q_g A} = \frac{I_y}{q_g A} = \frac{I_y}{H_y}$

Allo stesso modo dalla seconda $y_c = \frac{I_{xy}}{H_y}$

Poiché $I_y = I_y^0 + x_q^2 A$ e $H_y = x_q A$ ottengo che

$$x_c = \frac{I_y^0 + x_q^2 A}{x_q A} \Rightarrow x_c = x_q + \frac{I_y^0}{H_y}$$

La x del centro di spinta è più profonda della x del baricentro ($x_c > x_q$). Se è rimediato la x_c a loro altezza x è grande y_c .

Quindi in questo caso: $\bar{S} = -\bar{T}_0 = \frac{\text{eq. equilibrio}}{G + \bar{T}_1 + \bar{T}_2}$ → somma di forza peso e superfici piane, già viste

$G = \delta \cdot V$

↓
forza
PESO

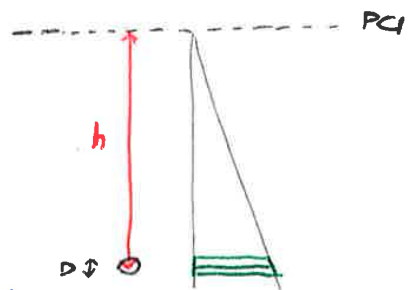
percorso
lungo volume

$\bar{T}_1, \bar{T}_2 \rightarrow$ sono forze per spinte su superficie.

Applicazione: Pormula di Horiotte (condotta in pendenza)

→ serve per calcolare
spessore tubazione per
determinato p .

ipotesi: pendenza $\alpha \ll D \rightarrow$ diametro condotta
piccolo
caso abbastanza comune



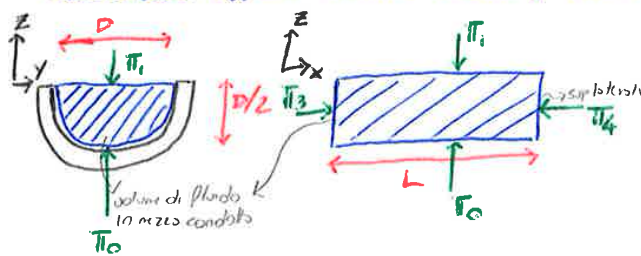
$$\begin{aligned} P_{\text{nuova}} &= \delta \cdot h \\ \Delta p = P_{\text{nuova}} - P_{\text{iniziale}} &= \delta \cdot D \\ &= \delta \cdot D \end{aligned}$$

L'equazione sopra è basata sull'ipotesi che la differenza di quota per strato sia uguale alla pendenza della condotta.

$P = \text{cost.}$

→ ciò che capitava nei gas
è vero per i liquidi.

$p = \text{cost.}$ equivale a dire che effetto forza peso è **negligibile** ($\delta = 0$). Peso quindi
lascia l'effetto della forza peso → $G \approx 0$.

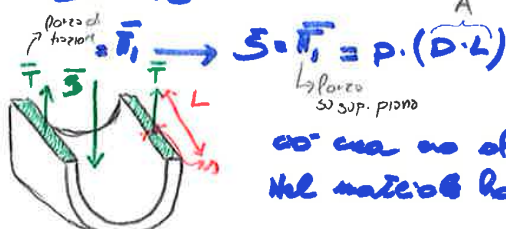


con T_2, T_4 agisce e controlla quindi la
condotta. T_2, T_4 non può da soli creare alcuna
differenza di pressione.

Da eq. equilibrio:

$$G + \bar{T}_0 + \bar{T}_1 + \bar{T}_2 + \bar{T}_4 = 0$$

$$\bar{S} = -\bar{T}_0 \rightarrow$$
 come in altro caso



con una rete di tensione sulla condotta.

Nel materiale la forza di tensione T deve essere S

$$\Theta \quad T = \frac{S}{2} = \frac{PDL}{2}$$

tensione data
Fluido

Impiego operativo di: σ (condotta per le macchine)

con: $T = \sigma (L \cdot S)$ tensione data: materiale

$$\Theta = \Theta \rightarrow \sigma / K_S = \frac{PDL}{2}$$

spessore condotta in funzione
delle proprie caratteristiche.

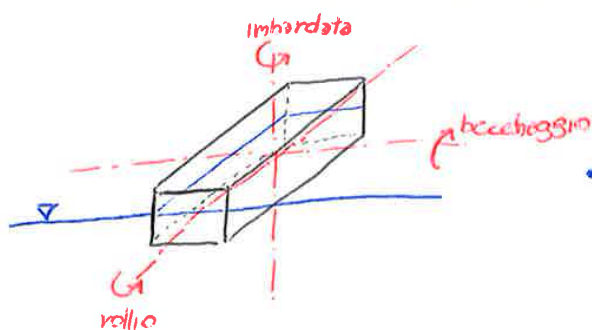
a pari di P , opp. più operativa se D maggiore.

→ perché in questo
le spinte

$$S = \frac{PD}{2\sigma} \quad \text{Pormula di Horiotte}$$

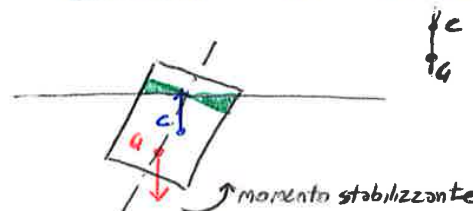
Problema sono le rotazioni, no spostamenti. Qui c'è. In quest'ultima si ha sempre rispetto all'equilibrio.

Dal punto di vista delle rotazioni:



con rotolo e braccio corto si ottiene instabilità.

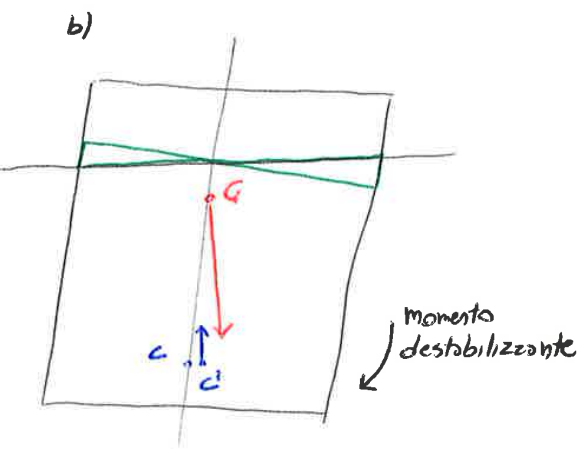
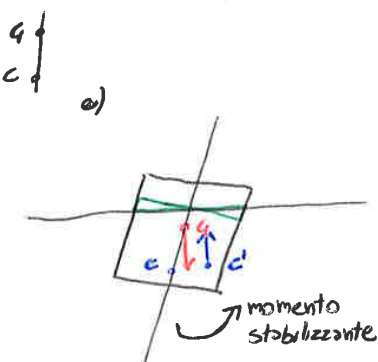
. Se $Z_G > Z_g \rightarrow$ se è stabile



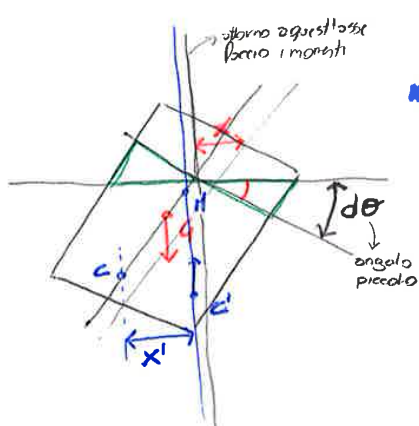
in coda d'elbow del polo di rotolo si vede soluz. di corona.

Le posizioni di G, G_0 sono copie di posizioni. Spesso può c'è non accade.

. Se $Z_G < Z_g \rightarrow$ due superficie instabili

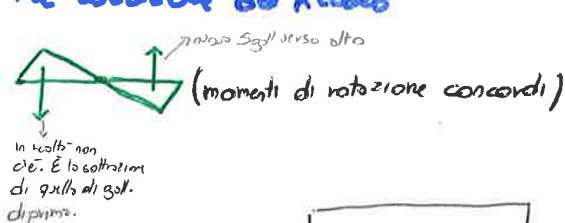


La coppia creata crea la resistenza alla rotazione. Due vederai al caso a).



È instabile. Cosa fa instabile? È l'interazione tra una sbarra SgII ed una gola.

Per rotolare da piccolo



Ano d'angolo infinito de = x de
volume dV = dx de = x dA da



10

estensione: dato se lo si misura: pos. in un punto. Descrivo per ogni punto il vettore della velocità in quel punto della particella passata apprezzato per ora.

(es. orometro)

$$\left\{ \begin{array}{l} \omega = \omega(x, y, z, t) \\ v = v(x, y, z, t) \\ \ddot{s} = \ddot{s}(x, y, z, t) \end{array} \right. \quad \begin{array}{l} \text{dove ho} \\ \text{piazzato} \\ \text{misuratore} \end{array}$$

componenti
della velocità

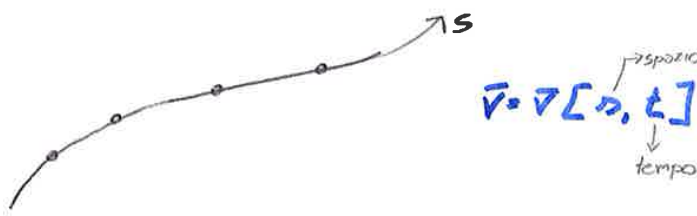
componente
apprezzato estensione

$$\left[\omega = \frac{dx}{dt}, \quad v = \frac{dv}{dt}, \quad \ddot{s} = \frac{d\ddot{s}}{dt} \right] \text{ legami fra i due apprezzati.}$$

Dico esplicita l'accelerazione della particella, in sistema euclideo.

↓

ACCELERAZIONE \bar{A}



L'accelerazione deve seguire il movimento

$$\hookrightarrow \bar{v} = \nabla [s(t), t]$$

dico condizioni di lo
spazio è nullo. La particella
è in moto.

$$\hookrightarrow s = s(t)$$

Ho quindi una detta accelerazione
del tempo, il che sono ed
il massimo della particella.

$$\bar{A} = \frac{D\bar{v}}{Dt} \quad \text{davuta totale (o assoluto)}$$

↪ segue il moto della particella

$$\bar{A} = \frac{D\bar{v}}{Dt} = \frac{\partial \bar{v}}{\partial t} + \frac{\partial \bar{v}}{\partial s} \cdot \frac{ds}{dt}$$

blanco lo
spazio e
vedo come varia
 \bar{v} nel tempo

dovendo
normalmente
che s è solo funzione
di una variabile
invece, e dipende
da due.

tempo
conta
del tempo
in due posizioni

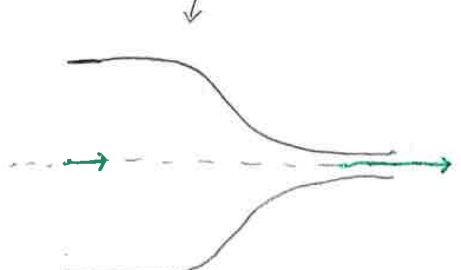
$$= \frac{\partial \bar{v}}{\partial t} + \nabla \frac{\partial \bar{v}}{\partial s}$$

accelerazione
locale

davuta accelerazione
orizzontale apprezzato estensione.

Posso avere entrambi
solo uno dei due.

accelerazione
convettiva



Tutto fissa nel tempo. Quindi no acc.-locale. Nel
singolo punto non accade nulla.

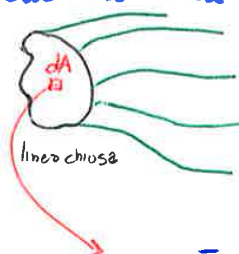
AA

c) linea di flusso; Punto su piano \rightarrow inizio delle particelle parallele per il punto P, in istante dato.
Queste curve coincidono solo se il moto è puro.

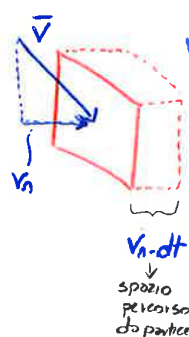
Moto \rightarrow dato \rightarrow diverse
 \rightarrow puro \rightarrow coincidono

.TUBO DI FLUSSO

Punto da cui usce \rightarrow inizio delle curve di flusso formanti la sua linea curva.



Cosa voglio è la partita di fluido attraverso la sezione.



v_n ; componente normale. Fa attraversare fluido attraverso superficie.

Dunque quantità attraverso dA:

$$dW = v_n \cdot dt \cdot dA$$

. Portata; volume di fluido per unità di tempo (dQ) $\left[\frac{m^3}{s} \right]$

$$dQ = \frac{dW}{dt} = v_n \cdot dA \quad (v_n = \bar{v} \cdot \bar{n})$$

$$\text{quella complessiva} \rightarrow Q = \int dQ = \int_{A} v_n dA = \int_{A} \bar{v} \cdot \bar{n} dA$$

La portata quindi deriva dalla velocità. Si considera quindi fluido che muove superficie perpendicolare al verso della velocità.

. SEZIONE TRASVERSALE

È perpendicolare a \bar{v} . $v_n = \bar{v} \cdot \bar{n} = \bar{v}$

Per cui: $Q = \int_{A} v_n dA = \bar{v} \cdot A$

portato volumetrico $\left[\frac{m^3}{s} \right]$

velocità media

esiste anche quello in massa $\left[\frac{kg}{s} \right] \rightarrow \dot{m} = \rho Q$

modulo
tanto \bar{v} è solo normale alla superficie

dove esiste: media
tra quello al centro
ed estremi condotto

queste sono
velocità puntuali

$$\bar{v} = \frac{Q}{A} = \frac{\int_{A} v_n dA}{A}$$

Equazione di continuità

\downarrow bilancio di massa

È un bilancio di massa applicato ad un certo volume di fluido infinitesimo.

① ②

$$\boxed{MASSA_{in} - MASSA_{out} = VARIAZIONE DI MASSA \text{ (nel volume)}}$$

attraverso superficie
di contorno

$$\frac{\partial p}{\partial t} + \operatorname{div}(p\vec{v}) = 0 \quad \text{equazione di continuità (forma indifinita)}$$

Sulla corrente può svolgersi tipo di fluido
Se fluido incompressibile (pacca)

$$\hookrightarrow \cancel{\frac{\partial p}{\partial t}} + p \operatorname{div}(\vec{v}) = 0 \Rightarrow \boxed{\operatorname{div}(\vec{v}) = 0}$$

$$\Downarrow \boxed{\frac{\partial u}{\partial x} + \frac{\partial v}{\partial y} + \frac{\partial w}{\partial z} = 0}$$

Eseguon globali continuità → poco utile. Ne avevo un'altra che prevede solo per una corrente.

\hookrightarrow equazione di continuità per una corrente

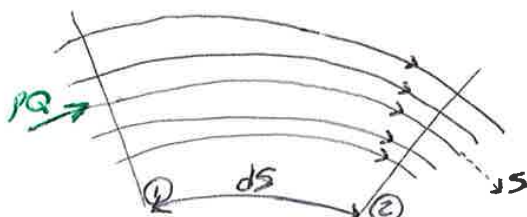
corrente \leftrightarrow moto 1D $Q = Q(s, t)$

$$Q = Q(s, t)$$

\hookrightarrow velocità media

$$A = A(s, t)$$

\hookrightarrow area



Bilancio di massa in tale volume

$$\dot{m}_{in} - \dot{m}_{out} = \Delta M$$

$$\dot{m}_{in} = \rho Q dt = \rho u A dt$$

$$\dot{m}_{out} = \left(P Q + \frac{\partial P Q}{\partial s} ds \right) dt$$

variazione
lungo s

$$\rightarrow \dot{m}_{in} - \dot{m}_{out} = - \frac{\partial P Q}{\partial s} ds dt \quad (a)$$

$$\dot{massa}(t) = \rho A ds$$

volumen

$$\dot{massa}(t+dt) = \left(\rho A + \frac{\partial \rho A}{\partial t} dt \right) ds \rightarrow \Delta M = \frac{\partial \rho A}{\partial t} dt ds \quad (b)$$

$$(a) = (b) \xrightarrow{\text{bilancio massa}}$$

$$\boxed{\frac{\partial P}{\partial t} + \frac{\partial P Q}{\partial s} = 0}$$

Ora ho una equaz;
P,A,Q.

Dove per svolgere tipo
di fluido a pelo 1D.

R: interna per un fluido incompressibile → pacca

$$\hookrightarrow \boxed{\cancel{\left(\frac{\partial A}{\partial t} + \frac{\partial Q}{\partial s} \right)} = 0}$$

A3

$$\textcircled{1} + \textcircled{2} = \textcircled{3} \rightarrow \rho \bar{F}_m - \left(\frac{\partial \bar{F}_x}{\partial x} + \frac{\partial \bar{F}_y}{\partial y} + \frac{\partial \bar{F}_z}{\partial z} \right) = \rho \bar{A}$$

$$\downarrow$$

$$\boxed{\rho(\bar{F}_m - \bar{A}) = \frac{\partial \bar{F}_x}{\partial x} + \frac{\partial \bar{F}_y}{\partial y} + \frac{\partial \bar{F}_z}{\partial z}}$$

$$\downarrow$$

$$\rho(\bar{F}_m - \bar{A}) = \operatorname{div} \bar{\Phi}$$

↓ accelerazione del fluido
 ↓ campo di forze diverse
 ↓ tensione degli sforzi

11-10-17

con $\bar{\Phi} = \begin{bmatrix} \sigma_x & \tau_{xz} & \tau_{yz} \\ \tau_{xz} & \sigma_y & \tau_{xy} \\ \tau_{yz} & \tau_{xy} & \sigma_z \end{bmatrix}$

E' qui che legame tra gli sforzi e l'accelerazione e quindi anche le soluzioni. Cosa che conta non è il solo modulo degli sforzi, ma la differenza.

L'equazione scritta è generale e vale per qualunque tipo di fluido e di moto. Tale equazione è non lineare, da definizione di \bar{A} che contiene \bar{v} che appare. Le grandezze in gioco sono: → velocità v, v, w

$$\left. \begin{array}{l} \rightarrow \text{sforzi } \sigma_x, \sigma_y, \sigma_z \\ \quad \quad \quad \tau_{xz}, \tau_{yz}, \tau_{xy} \\ \rightarrow \text{densità } \rho \end{array} \right\} \begin{array}{l} 10 \text{ grandezze incognite} \\ \text{nello statico } v \text{ non c'è sforzo, solo } \rho. \end{array}$$

Le equazioni dirette sono adesso:

. continua (1) $\frac{\partial p}{\partial t} + \operatorname{div}(p\bar{v}) = 0$

. indiretta (2) $\rho(\bar{F}_m - \bar{A}) = \operatorname{div} \bar{\Phi} \Rightarrow 5 \text{ equazioni; ma ho 10 incognite}$
 dinamica

↳ 3 eq.
sezione
perché in xyz
tutte eq.

. equazione (3) $p = p(P) = p = \text{cost.}$
 statico

Le 5 aggiuntive devono fare salvo del fluido come si comporta.

↳ Sono queste che ormai mi servono, sono delle **equazioni costitutive**.

$$\text{sforzi} \longleftrightarrow \text{velocità-deformazione} \\ (\sigma, \varepsilon) \qquad \qquad \qquad (\operatorname{grad} \bar{v})$$

Equazione globale dinamica

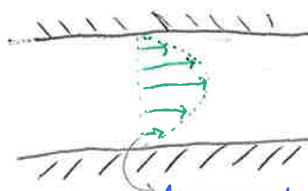
come quella per la statica pur sempre con le incognite non in ordine globale.

$$\int_V \rho \bar{F}_m dV = \int_V \rho \bar{A} dV + \int_W \operatorname{div} \bar{\Phi} dV$$

① ② ③

M

Corrente 1D



$$\vec{v} = v \cdot \hat{n}$$

↓
deve essere
a sup.

$\vec{v} = v \hat{n}$

↓
cioè i
componenti
tangenziali

area & da cor.

$$H = \hat{n} \int v dA$$

Devo passare attraverso rel. medio U .

→ questa è velocità
puntuale

Devo ora calcolare media U

H_{puntuale}
QDR di area ed
area da sop. nulla
dunque di zero

stien conto del
profilo delle velocità.
Nel disegno sopra

intiale integrare già risolta

$$H = B \cdot g U^2 A \bar{v} \cdot \beta_{\text{flusso}}$$

$$B = \frac{\int v^2 dA}{U^2 A}$$

→ ho due valori in base a moto laminare
o turbolento
→ coeff. di raggiungimento del flusso
di Q.D.M.

$$\cdot \bar{I} = - \int \frac{\partial \vec{v}}{\partial t} dA$$

invece Lame. area a secco grande → nel fluido
non cambiando.

$\rho dA \rightarrow$ massa

$\rho v dA \rightarrow$ QDR

$\bar{I} \rightarrow$ come si varia QDR nel volume.

segno uno: $\vec{v} \uparrow$ e $\frac{\partial \vec{v}}{\partial t} > 0$ la variazione di una forza (\bar{I}) opposta
a \vec{v} .

$\vec{v} \downarrow$ cioè poi forza opposta. Qui se pieno tende ad andare in avanti,
prima si accelerava tendendo ad andare
indietro con corpo.

Ora quindi applicare una forza che si oppone alla variazione → segno per
calcolare \bar{I} al fluido.

$I_{\text{iso}} \rightarrow$ moto permanente $(\frac{\partial \vec{v}}{\partial t} = 0)$

L'isolto non varia nel tempo.

Le relazioni di fatto le forze cioè dove risultano perché forza zero,
ora voglio partito raggiungere l'equazione.

DINAMICA DEI FLUIDI PERFETTI

→ no slarsi tangenziali

È il fluido in cui $\sigma^{ij} = 0$ (come in statica) e quindi $\Phi = \begin{bmatrix} P & 0 & 0 \\ 0 & P & 0 \\ 0 & 0 & P \end{bmatrix} =$

$$= [P_x, P_y, P_z]$$

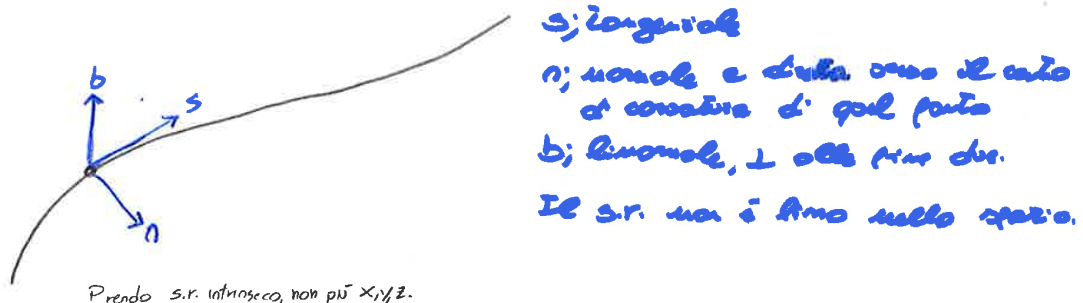
↓ ↓ ↓
 $\phi_x \quad \phi_y \quad \phi_z$

$$\begin{cases} \sigma_{xx} = \sigma_{yy} = \sigma_{zz} = 0 \\ \sigma_{xy} = \sigma_{yz} = \sigma_{zx} = f \end{cases} \rightarrow \text{equazioni costitutive}$$

→ slarsi che agiscono su parte

↓
Solo
componente
lungo z

NS



Dato accelerare $\ddot{A} = \frac{D\dot{v}}{Dt}$ e vedere cosa si dice di tale s.r.
 $\rightarrow [A_s, A_n, A_b]$

Dato $A_s = \frac{Dv}{Dt}$ $[v; \text{modulo di } ?]$
 cioè dato se muove il fluido
 L'insieme di variazioni modulo
 della velocità in direzione

$A_n = \frac{v^2}{R}$ (ca. curvola)
 Lungo
 di curvatura
 L'effetto conto delle variazioni
 di direzione

$A_b = 0$ sempre, perché A è variazione di un vettore e proprio per definizione
 non può variare in modulo o direzione.

Sostituendo le equazioni di prima:

$$\begin{cases} \frac{\partial h}{\partial s} = -\frac{1}{3} \frac{Dv}{Dt} \\ \frac{\partial h}{\partial n} = -\frac{v^2}{3g} \\ \frac{\partial h}{\partial b} = 0 \end{cases}$$

Ricavo cosa conta cosa accade nello spazio
 devono risultare cosa accade lungo s e
 poi nelle altre direzioni.

$$\frac{\partial h}{\partial s} = -\frac{1}{3} \frac{Dv}{Dt} = -\frac{1}{3} \frac{\partial v}{\partial t} - \frac{1}{3} v \frac{\partial v}{\partial s}$$

↓
 come già visto. Lo
 spazio mi compone
 in due punti

$\frac{v \partial v}{\partial s} = \frac{1}{2} \frac{\partial v^2}{\partial s}$ con questo ho $v \partial v$ che moltiplica la deviazione ed
 avendo che non si va costante in d'una posizione.

$$\text{Sostituendo} \rightarrow \frac{\partial h}{\partial s} + \frac{\partial}{\partial s} \left(\frac{v^2}{2g} \right) = -\frac{1}{3} \frac{\partial v}{\partial t} + \text{quindi} \frac{\partial}{\partial s} \left(h + \frac{v^2}{2g} \right) = -\frac{1}{3} \frac{\partial v}{\partial t}$$

↓
 punto
 dentro tanto
 sono costanti

carico totale
 H

Il carico totale $H = h + \frac{v^2}{2g} = E + \frac{P}{\rho} + \frac{v^2}{2g}$ Trinomio di Bernoulli

↓ termine
 cinetico
 $\propto E_{el}$ del
 fluido

$$z + \frac{P}{\gamma} + \frac{v^2}{2g} = \text{cost.} \rightarrow \cancel{\gamma} z + P + \frac{1}{2} \rho v^2 = \text{cost.} \quad \cancel{\gamma} = \rho g$$

$$\downarrow$$

$$P + \frac{1}{2} \rho v^2 = \text{cost.}$$

Teorema di Bernoulli
per un gas

\hookrightarrow Legge tra P, V
In statico $\rightarrow v=0$,
doveva $P = \text{cost.}$

Guarda ora cosa accade in direzione parallela al moto
 \downarrow
nel punto (n, b)

$$\frac{\partial h}{\partial n} = -\frac{v^2}{2R} \quad \frac{\partial h}{\partial b} = 0$$

\rightarrow lungo b ; $h = \text{cost.}$

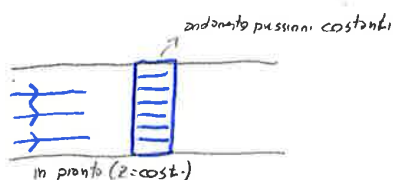
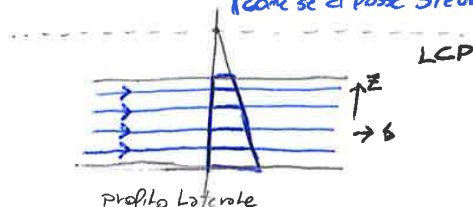
Lungo n ; effetto della curvatura \rightarrow ricolla
 \rightarrow ombra

. Se curvatura ricolla/curvata \downarrow

come è graduale la ricolla
- ricolla \sim rilievo
- $\frac{1}{R} \approx 0 \leftrightarrow R \rightarrow \infty$

$$\frac{\partial h}{\partial n} = 0 \quad h = \text{cost.} \quad \text{oo}\{n, b\}$$

\downarrow
come in statico
(con se ci fosse Sturm)



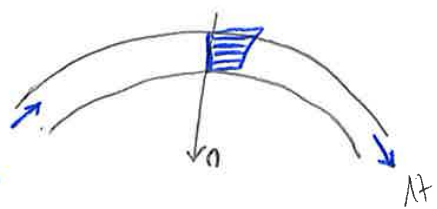
settore rotolante

. Se curvatura $\neq 0$

$$\frac{\partial h}{\partial n} = -\frac{v^2}{2R} \quad \text{to il coro rotolante}$$

lungo n .

Selon questo punto in quanto b non
è costante.



Portata $\rightarrow Q = V_{app} \cdot A_c$

\downarrow
sezione
contratta, non
quella del foro

ogni soluto

$A_c = C_c \cdot A$
 \downarrow
luce

Quindi \rightarrow

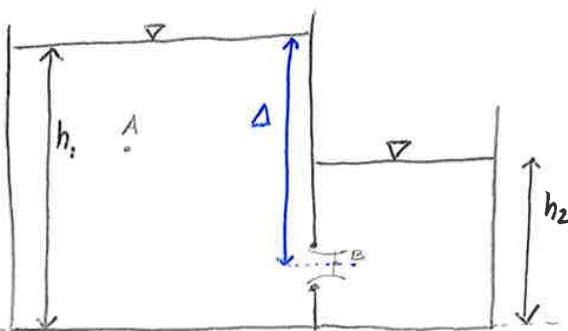
$$Q = C_v \sqrt{2gh} \cdot (C_c \cdot A) = \\ = C_v C_c A \sqrt{2gh}$$

\downarrow coefficiente di efflusso \rightarrow maglie, colla, contrazione e dilatazione.

$$Q = \mu A \sqrt{2gh}$$

For ottiene a valori di
b e μ .
 \hookrightarrow 0.6 per dch

EFFLUSSO LATERALE (con una somma)



Anche qui usiamo contratto.



$$\underbrace{z_A + \frac{P_A}{\rho g} + \frac{V_A^2}{2g}}_{h_1} = \underbrace{z_B + \frac{P_B}{\rho g} + \frac{V_B^2}{2g}}_{h_2} \quad \text{Daggio } \sqrt{(h_1, h_2)}.$$

stesso ragionamento
di p.d. di prima

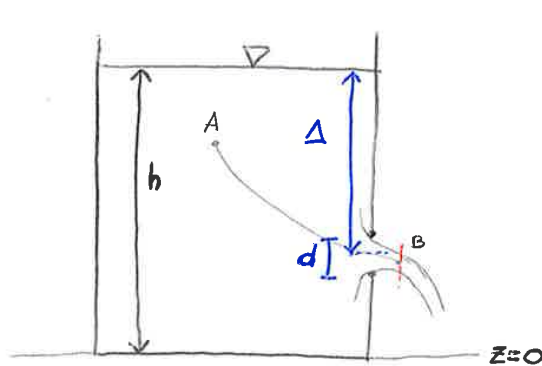
$$V_B = \sqrt{2g(h_1 - h_2)}$$

corta la differenza di quota.

$$Q = \mu A \sqrt{2g(h_1 - h_2)}$$

$\hookrightarrow 0.6$

EFFLUSSO INTEGRALE LIBERO



$$\underbrace{z_A + \frac{P_A}{\rho g} + \frac{V_A^2}{2g}}_h = \underbrace{z_B + \frac{P_B}{\rho g} + \frac{V_B^2}{2g}}_{dI}$$

Su fondo gelo do $P_{tm} = 0$ sii P_{tm} , Dato
gello b/cost. fatti pressione. Gello è angolo
a forza gravità; costante. Gello \rightarrow p/cost.

\downarrow
P.t. attiva variazione di $P_0 = 0$
nelle variazioni di quota
non c'è nulla p/cost in
variazione.

A8

Anemometro a vento

Sistema penetrazione del vento. Si usa in aria aperta. Utilizzato per avere una portata. Vento > Velocità di uccello, quanto va lontano più aria non colpisce uccello. Più velocità maggiore → anemometro a cappelli. Di norma installato a elevata altezza.

Ha bisogno
di tenere le
cappelle in
il filo di Pitot
no.

Misura della velocità dell'aria. La velocità
influisce sulla durata del
vento.

Anemometro a filo caldo

Sistema portatile e permette misure in dimensioni. C'è una sonda con due fili conduttori, di rame e nichel in W o Pt e Parafina con resistenza. Quando filo investito da corrente si riscalda e T varia. Grado di AT verso a misurare la velocità dell'aria. Però cambiano a T costante o tensione costante per tenere la sonda. Da qui si misura portabilità.

ADV - acoustic doppler velocimeter

Il segnale mandato sono onde acustiche che vengono usate. Funziona in aria ed acqua. Il polso centrale è originato dalle acustiche, le laterali sono i rascigli. Ogni rasciglio di dati ha componenti e quindi visualizzazione 3D. Onde collettano soluzioni di dipendenza in acqua e rilevano su diversi, con lo scorrimento. Ha uno shift di frequenza da cui si ricava la velocità e verso e dove. Soluzioni è rappresentata a 3D. Però non funziona bene in caso d'acqua poco profonda.

LDV - laser doppler velocimeter

Qui onde è luce. Funziona di base con denominazione inglese d'onda λ. Si prende l'onda e poi si trasporta verso l'alto attraverso un'antenna. Se raggio luce attraversa spicchi che lo dividono in due direzioni λ, le due direzioni di luce fanno e si muovono. In quel punto si misura la velocità, come stima λ e trascurando le cose frattili d'onda, interferenze. Non ottiene lire-onda in più a causa di incidenza. Poi si misura la distanza sono uguale e partendo da parola in cui il riferimento è l'antenna, in cui le due scorrano. Misura il tempo di intervallo, dividendo la distanza per la velocità. Le divisioni tra i punti d'onda sono molto piccole. Che oppone al raggi è misura una cosa importante. Quindi è la misura superficiale che si fissa l'onda.

S'osservano i valori di α

- ↳ valore → laminare; sezione regolare, basso α ≈ 2 , $\beta \approx 6$
- ↳ valore → turbolento; sezione regolare $\alpha \approx 1$, $\beta \approx 1$

I due sono osservati per il flusso

In equazione dimensionale $\rightarrow H = \beta \rho Q U$

↪ dimensionale perché usi U e

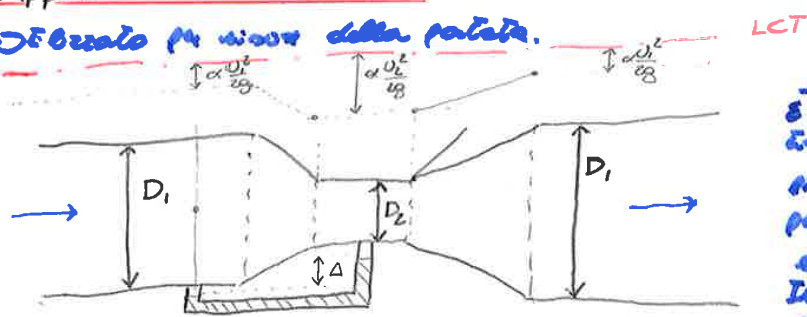
non V

$$\text{con } \beta = \frac{\int v^2 dh}{U^2 A}$$

Di norma i valori sono di valori turbolenti.

Applicazioni Venturiometro

Definiamo per misura della portata.



LCT

È fatto in modo che la velocità
della corrente nel maggiore tubo converga
nel minor tubo di quella stessa corrente,
per non avere dissipazione di
energia.
Il caloremetro ha quindi un
zero.

Misura il calore emesso dal condotto. Se lo si fa $\alpha = \frac{Q}{A}$. In questo caso si è allorando.

Allora Q secondo Bernoulli \rightarrow

$$h_1 + \alpha \frac{U_1^2}{2g} = h_2 + \alpha \frac{U_2^2}{2g}$$

misura in modo
turbolento così

$$\frac{U_2^2 - U_1^2}{2g} = h_1 - h_2$$

La parte dura sarà nota, quindi usando legge $Q = \rho J A$.

↪ misura h_1 prima venturiometro e h_2 in venturiometro

$$\hookrightarrow \frac{Q^2}{2g} \left(\frac{1}{A_2^2} - \frac{1}{A_1^2} \right) = h_1 - h_2 \Rightarrow Q = \sqrt{2g(h_1 - h_2)} \left(\frac{1}{A_2^2} - \frac{1}{A_1^2} \right)^{-1}$$

↪ le aree sono note

Venturiometro \rightarrow direttamente Q

Pilote \rightarrow lo si poi Q

$$Q \propto \sqrt{h}$$

Questo solo scrive.

24-10-17

Misure di portata

VENTURIOMETRI

Sia a valle che sotto il letto sifone.

DIAPRATTI E BOCCAGLI

Per fino, se boccaglio sotto a valanghino che fa cominciare V , proprio come in venturiometro. Ricorda per niente e a valle e con il boccaglio.

Boccaglio invece da valanghino segnato. Tali elementi però hanno grandi punti di energia. Inganno minimo di valanghino.

D)

Allora in un piano c'è una colonna atmosferica. Tra c'è una colonna Bernoulli; le due risultati sperimentali che danno P_c .



$$\frac{P_c}{\gamma} = -\frac{3}{4} h_{\text{barometro}}$$

Ragionando così e poi disponendo la Bernoulli ha un simile di C. In genere quando le sezioni controllate le Bernoulli ha così. Da qui il Bernoulli, o Hagen-Hele con $h = \frac{U_c^2}{2g}$

$$h = z_c + \frac{P_c}{\gamma} + \alpha \frac{U_c^2}{2g} \quad \alpha > 1$$

$$\frac{3}{4} h = \frac{U_c^2}{2g} \rightarrow U_c = \sqrt{2g \frac{3}{4} h}$$

che in sec. controllo

termine cinetico
nella sezione controllata

senza tubo non
avendo $\frac{3}{4}$. L'aspirazione
mi dà v maggiore ①

$$Q = A_c \cdot (c_v \cdot U_c) = c_v \cdot A \cdot c_v \sqrt{2g \frac{3}{4} h} = c_v c_v \sqrt{\frac{3}{4}} A \sqrt{2gh} = 0.8 A \sqrt{2gh}$$

$c_v \cdot A$
dopo tubazione
coll. soluzioni

μ
coeff. efflusso
 ≈ 0.8

Maggior rapido a
per uno tubo.

La legge Bernoulli avrà solo un senso così. A causa di h, per chiudere
non può ad una certa scia avere con $P_{atm} = 0$ sotto non può.
 $P_{atm} = 0$

Così solo se $P_{atm} = P_{atm}$ in termini relativi. Quale che $\frac{P_c}{\gamma} > -\frac{P_{atm}}{\gamma}$

$$-\frac{3}{4} h > -\frac{P_{atm}}{\gamma} \rightarrow h < \frac{4}{3} \frac{P_{atm}}{\gamma}$$

Dopo tale h la legge non è più valida.
In acqua circa 13 [m].

$$\text{Se } h > \frac{4}{3} \frac{P_{atm}}{\gamma} \rightarrow P_c = -P_{atm}$$

Lasciati ha raggiunto fondo scalo e sottomano possono

Bernoulli:

$$h = z_c + \frac{P_c}{\gamma} + \frac{U_c^2}{2g} = -\frac{P_{atm}}{\gamma} + \frac{U_c^2}{2g}$$

$$U_c = \sqrt{2g \left(h + \frac{P_{atm}}{\gamma} \right)}$$

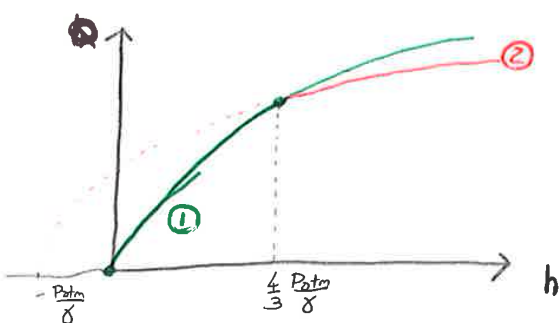
$$Q = (c_v A) c_v U_c = c_v c_v A \sqrt{2g \left(h + \frac{P_{atm}}{\gamma} \right)} \quad ② \quad \text{per } h > \frac{4}{3} \frac{P_{atm}}{\gamma}$$

$c_v c_v$
coeff. efflusso

② Come si è fatto di ①

Le tubi di lunghezza $\ll D$.
Per D chiuso ed n profondo $\gg D$

Fini qui Bernoulli.



$$\text{con } \bar{T} = \int_{W} \mu \nabla^2 \vec{v} dW$$

integrale su
volume di ultima
parte.
È contributo sforzi tangenziali.

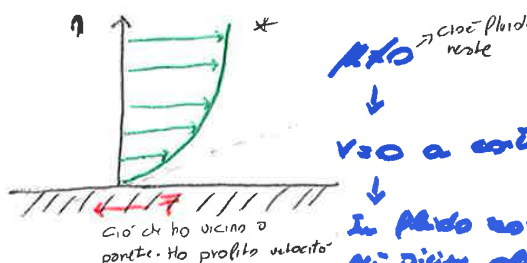
$$\bar{T} = \mu \int_W \nabla^2 \vec{v} dW = \mu \int_W \operatorname{div}(\operatorname{grad} \vec{v}) dW =$$

$$= -\mu \int_A \operatorname{grad} \vec{v} \cdot \hat{n} dA = -\mu \int_A \frac{d\vec{v}}{da} dA$$

Gauss.
Su area.

versamento denso in x,y,z di \vec{v}
dervato velocità
rispetto direzione normale

soltante sforzi tangenziali sulla
opp. di contorno.



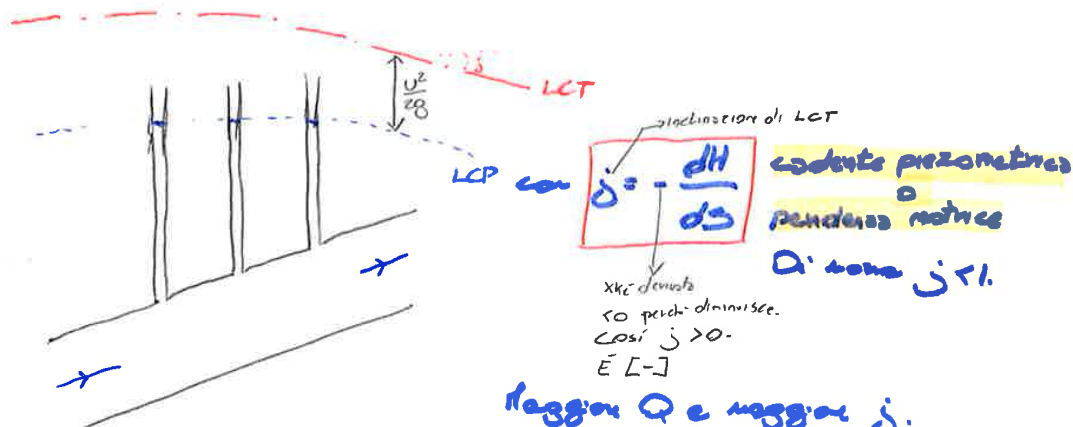
Poco da fare $\leftarrow \frac{dT}{dt} \neq 0$
donna a zero.

Tangenziali $\bar{T} \neq 0$. Direzione è opposta al moto, $\frac{dT}{da} > 0 \rightarrow T < 0$

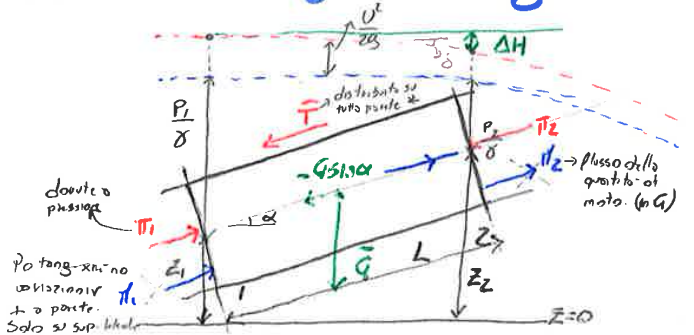
\bar{T} è una delle alt. che dimostra energia. Dopo qualche definit. (opp. al moto)
la diminuzione di energia

Dissipazione di energia

Il rapporto di H diminuisce. Indicherà condizione non le effetti si carica

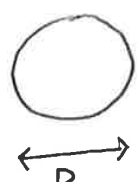


δ diminuisce, non è costante, se $\delta = \text{cost.}$ allora LCP ha stessa j di LCT.
La forza \bar{T} è legata alla j .



Forsa libera d. forza su \bar{T} .
Mi accorgo d. problema angua
perciò P diminuisce.
 A non costante

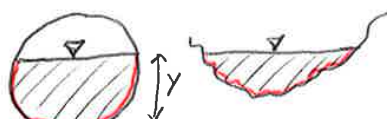
es. avvio circolare (in pressione)



$$R = \frac{\frac{\pi D^2}{4}}{\pi D} = \frac{D}{4}$$

il punto di gavettatura raggiunge sezione non circolare.

Conversione a superficie libera



$$R = R(D, y)$$

L'ipotesi di diametro è l'settato
acqua

25-10-17

REGIME DI MOTO

. Laminare

. Turbolento

Faccio riferimento a numero di Reynolds.

$$Re = \frac{\rho U L}{\mu}$$

→ lunghezza tipica in questione

$\frac{U}{L}$ → velocità

condotte circolari → $R = D$

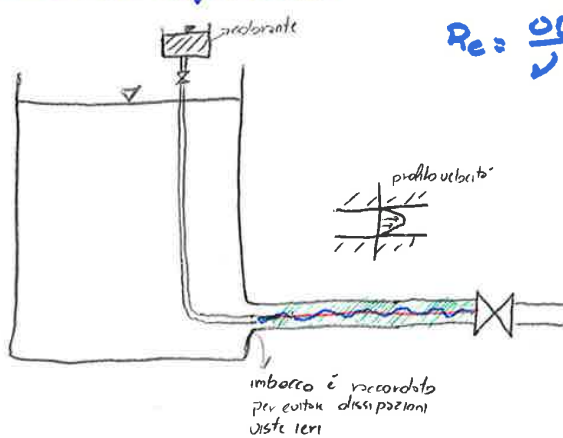
peridometro

$Re < Re_{crit} \approx 2000 \rightarrow$ laminare

$Re \gg Re_{crit} \rightarrow$ turbolento ($\approx Re > 10^4$ numero di: turbolento)

Nel caso intenso si diffondono.

Espansione di Reynolds



$$Re = \frac{UD}{\nu}$$

nella misura in cui Re è
conferma la velocità. Basta una
d'aria o d'acqua soluziona

$U \uparrow, Re \uparrow$

Da Re lami → laminare colossale
voglia velocità di moto U_{crit}
profilo della velocità. Ogni trascinante
è indipendente dall'altro.

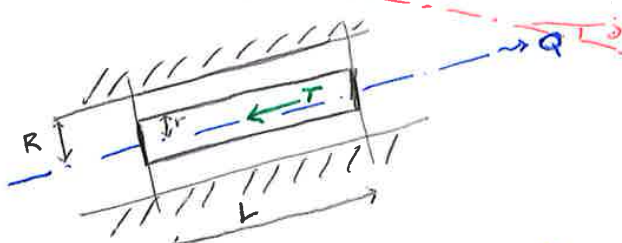
Se espongo Re indece, $U_{crit} Re > 2000$, ma non troppo, per restare in laminare. Il
colossale inizia ad oscillare. Quando c'è qualche corrente transversale di U .

Se $Re \gg 2000$, solo turbolento. Il colossale sotto correntamento, si degrada
in una serie di periodi in acqua. \rightarrow l'oscillazione è molto rapida. Ha
completamente smesso. Corrente transversale U sono intense, e quindi sono date
da valori che si usano oltre intorno del flusso. In questo caso ha molta
più dissipazione di energia.

73

Profilo sforzi tangenziali

Siamo ora in uno laminar. So che $T = \delta W j$ dove δ sforzo tangenziale $W = \frac{1}{2} \rho r^2 L j$ con $R = \frac{D}{4}$ per condotto circolare. Quindi $\delta = \rho r^2 L j$. Da dove si vede cosa accade dato il fluido. Profilo sforzo tang. è molto legato a quello di velocità.



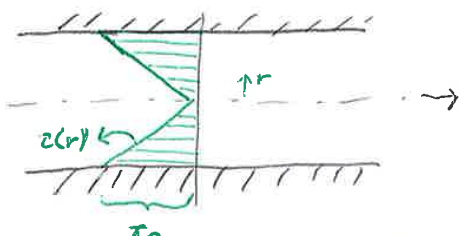
$$T = \delta W j = \delta \frac{\pi r^2}{4} L j \quad \boxed{\delta = \frac{T}{\rho r^2 L j}}$$

Fluido in laminar più facile delle condutture. Perché non ci sono colli o devi su cui vibrare. Si sente calore da T del fluido.

$$\text{Invece questo a parte } \delta_0 = \delta R j = \frac{\delta R}{2} j$$

$$\frac{\delta}{\delta_0} = \frac{\frac{\delta}{\delta_0} j}{\delta R j} = \frac{r}{R} \rightarrow \boxed{\delta(r) = \delta_0 \frac{r}{R}}$$

che sforzo in un punto qualunque. Fluido è perf. e sfusa a parte da lì.



Dato con cui calcolare gli sforzi ad interno di un fluido in laminar. Andiamo a dire di più.

Se lo so, gli altri ti restituisco dati.

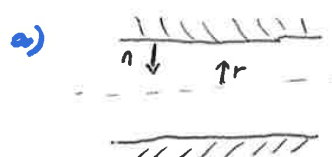
Gli altri tangenziali costi perdo di T , δ_0 , l'andamento è per dati i dati di sforzo tangenziale in un fluido.

in basso solo per disegni; si calcola e aggiunge alle CN di sforzo.

Profilo di velocità

per moto laminare

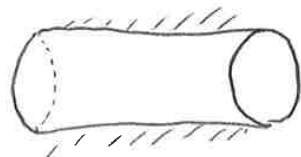
$$T = |\bar{T}| = \text{una costante nega} = \mu \int_A \frac{dv}{dr} dA$$



$$\frac{dv}{dr} = -\frac{dv}{dr}$$

a)

$$z(0) = \text{cost.}$$



$$z(A) = \text{cost.} \quad (\text{rotanti})$$

$$\frac{dz}{dr} = \text{cost.}$$

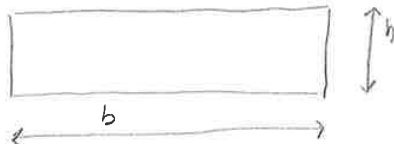
$$T = \mu \int_A \frac{dv}{dr} dA \stackrel{a)}{=} -\mu \int_A \frac{dv}{dr} dA \stackrel{b)}{=} -\mu \frac{dv}{dr} \int_A dA = -\mu \frac{dv}{dr} 2\pi r L \stackrel{\text{dis di contorno}}{=} \text{①}$$

uu

In sezione circolare $R = \frac{D}{4}$

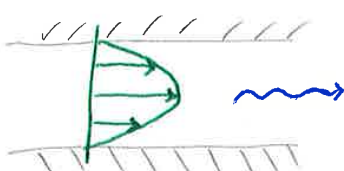
Se avessi Ω in questo diametro $\rightarrow \Omega = \frac{1}{2} \frac{\delta \dot{\varphi}}{\mu} R^2$ sarebbe vero che non ci molte

Confronto con una sezione rettangolare lunga $\rightarrow b \gg h$



$$R = \frac{bh}{2b+2h} \times \text{orizz. piano}$$

$$\approx \frac{bh}{2b} = \frac{h}{2} \quad \text{raggi idraulici ver. rett. lunga}$$



Avendo profilo parabolico

$$\Omega = \frac{1}{3} \frac{\delta \dot{\varphi}}{\mu} R^2 \quad \text{con per se. circolare in cui } \frac{1}{3} \in \text{ tra } 0,0 \text{ min. poi}$$

I due casi sono estremi. Di norma le sezioni più comuni non saranno intermedie.

In genere

$$\boxed{\Omega = a \frac{\delta \dot{\varphi}}{\mu} R^2}$$

con a capito la



AUTO TORBOLENTO

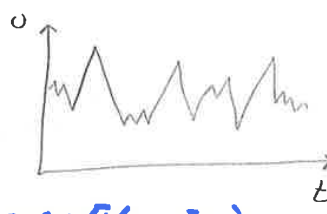
Per $Re \gg 2000 \rightarrow$ moto laminare instabile. Il profilo d'aria non è più simile.

Fibrizzioni di velocità, cioè se vario nel tempo il valore di v , non per condiz., ma varia nel tempo

A un inizio sarà solo moto.

Se avranno circa stessa durata del moto, sarà un instabile in

dove: moto nudo + oscillazioni costanti (oscill.)



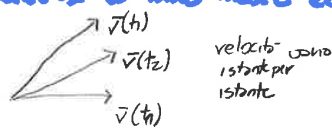
L'insorgibilità
del rimescolamento

Fluttuazioni auto periodiche
della C' oppure delle variazioni nel
tempo in varie caselle.

Spas torbolosi isolati (caselli); sono aggiuntivi rispetto quelli di insorgibilità del
moto laminare. Modificano le caselle di moto

Distribuzioni energetiche (\bar{v}) maggiori; dare. Per il moto nudo $\bar{v}_0 < \bar{v}_{osc}$.

Si chiamano le fluttuazioni auto ove la decomposizione di Reynolds (una
velocità a moto medio ed una a turbolenta).



$$\bar{v} = \bar{v}' + v'' \quad \begin{array}{l} \text{oscillazione/turbolenta} \\ \text{velocità media} \end{array}$$

$\bar{v}_{turb} = \sqrt{\bar{v}'^2}$ è l'amm. del moto (con quadri vicini).

Se $\bar{v} > 0$ (fluido verso destra da sinistra a destra a sinistra)

→ Tot zona viva instabile:

O' RO

(oscillazioni negative).

Lo vedo nel grafico.

Vede il inverso

Dallo quale non possono esistere oscillazioni o moto nello stesso direzione nella lunga.
Gli altri oscillati sono quelli detti di Reynolds. Guarda da dove
deriva con l'equazione globale.

Equazione globale dinamica (moto turbolento)

In genere $\bar{G} + \bar{F}_C + \bar{H} + \bar{I} = 0$ con $\bar{F}_C = \bar{P} + \bar{T}_{visc}$

$(\bar{T}_{visc} = - \int \rho \frac{dv}{dx} dA)$ In moto turbolento le grandezze oscillano nel tempo.

\bar{P}, \bar{v}, \dots sono fluttuazioni nel tempo. Allora oppure la media dei dati è linea:

$$\text{es. } \bar{P} = \frac{1}{T} \int_0^T \bar{P} dT \underset{\text{per definizione}}{=} \frac{1}{T} \int_0^T P \bar{d}A \cdot dT \quad \begin{array}{l} \rightarrow \text{pressioni/sposti normali} \\ \text{Le spinte tang. discosse} \end{array}$$

ha così integrale doppio, in spazio e tempo. L'unica cosa che varia è la pressione P .

$$= \int_A \frac{1}{T} \int_0^T (\bar{P} + P') dT \cdot \bar{d}A = \int_A \bar{P} \bar{d}A + \int_A \bar{P}' \bar{d}A$$

\downarrow scambiato integrali
e scomposto in \bar{P} .

$$\text{Dunque } \bar{P} = \int_A \bar{P} \bar{d}A \quad \text{con la sola } \bar{P}$$

\downarrow calcolato con
pressione media. Così
qui non ho componenti
di fluttuazione.

\downarrow è nullo. Perché è media
di una fluttuazione

Risultato di \bar{P} solo per l'area come che per \bar{M} .

↳ Perché \bar{P}' e altri sono zero. ↳ Lui no finisce.

$$\bar{M} = \int_A \rho \bar{v} v_n dA$$

↳ due volte velocità e no finisce.
descriviamo i termini turbolenti

$$\text{oppure la media} \rightarrow \frac{1}{T} \int_0^T \int_A \rho \bar{v} v_n dA \cdot dT = \rho \int_A \frac{1}{T} \int_0^T \bar{v} v_n dT dA \quad \textcircled{1}$$

\downarrow media solo a v' !

$$\bar{v} v_n = (\bar{v} + \bar{v}') (\bar{v}_n + v'_n) \Rightarrow \bar{v} v_n = \bar{v} \cdot \bar{v}_n + \bar{v}' \cdot \bar{v}_n + \bar{v} \cdot v'_n + \bar{v}' \cdot v'_n$$

\downarrow gli unici che danno
valori è prodotti di
costanti o fluttuazioni

$$\text{Tono a } \textcircled{1} = \rho \int_A \bar{v} \cdot \bar{v}_n dA + \rho \int_A \bar{v}' \cdot \bar{v}_n dA$$

\downarrow contributo turbolento
(\bar{T}_{turb})

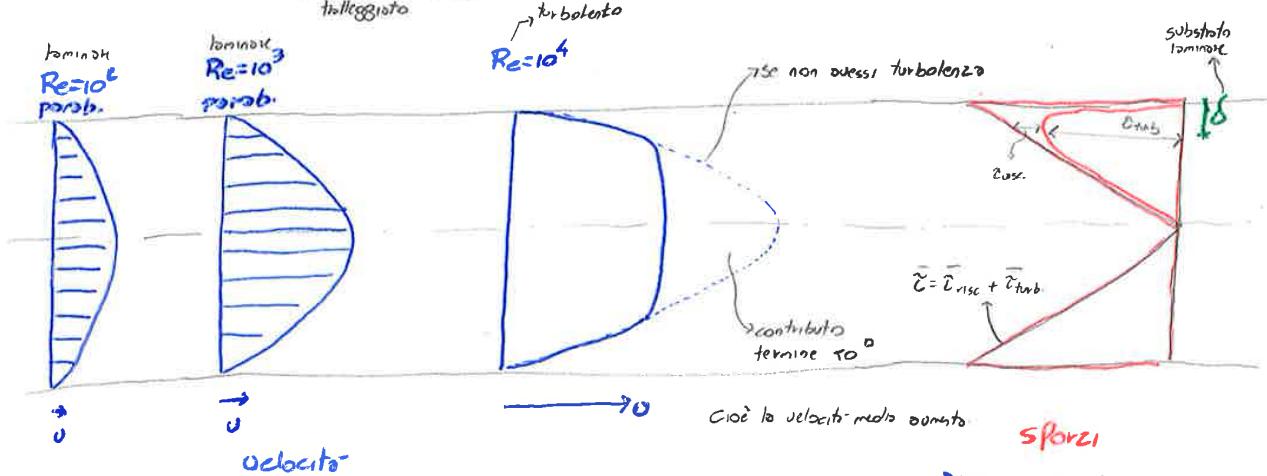
$$\text{Alma cost.} = \frac{\delta \dot{S}}{4\pi} R^2 + \frac{P}{K_0} \int_0^R \overline{uv} dr$$

quindi: $\bar{J}(r) = \frac{\delta \dot{S}}{4\pi} (R^2 - r^2) + \frac{P}{K_0} \int_0^r \overline{uv} dr$

↓
come moto
laminare

Se molto vicino alla parete posso parire e poi turbolenta, cioè tolgo gola.
Ho turbolenta più bassa sopra e poi come turbolenta.

↳ cioè tolgo il perno
turbolento



Zona vicina a parete ha moto substrato laminare (o disco so). Dista a parete
velocità zero e quindi onde oscillazioni.

Dista parete quasi no turbolenta e quindi: allestirà, nello coincide no, prima
che quasi solo turbolenti gli altri e quindi: P si stacca da profilo
del moto laminare.

$$\bar{\epsilon}_{tan} \propto \frac{du}{dr}$$

↓
→
cioè velocità
quasi costante,
profilo circa piatto

7-11-17

Dissipazioni di energia

In moto turbolento sta in gioco la **sobrezza e cosa M è dissipazione**.



qui sentire la effe.
distanza seconda
massim. fluido. Quindi
ciclo ideale.

Appena M senti che
tu scaluzzi lo non si
sobrezza equivalente.
(Nikuradse).

27

PASSARE SCABA

$$\frac{\partial(Y)}{\partial x} = \frac{1}{k} \ln\left(\frac{Y}{E}\right) + C''$$

Legge delle correnti, in quanto non ha stato costante.
Qui non più lunghezza viscosa infinita, ma è, se basta.

$$(r=0.4) \\ (C''=0.5)$$

In base a tali dati nel n° 1 trovato i costanti di raggiungimento già indicati con
valori, ma molto probabilmente, costanti?

$$\text{costante totale } H = h + \alpha \frac{U^2}{2g}$$

perché tutto fermo profilo veloce

$$\text{Punto Q.D.M. } M = \beta \cdot PQU$$

Li ho perché ho le O cioè
velocità medie e non punto
per punto.

$$\alpha = \frac{\int_A U^3 dA}{U^2 A}$$

2 Laminare

$$\beta = \frac{\int_A U^2 dA}{U^2 A}$$

1/3 laminare

N1 turbolento (1.04-1.06)

N1 turbolento (1.02-1.03)

Più volte ad alto e più
profilo è piatto. Se punto
allora è anziani la turbola; o
raggio il profilo.

Io per voglio le dimostrazioni. Ad una non si avrà obbligatoriamente con
fusione di variabili dimensionale.

Ottavo il Teorema di (Buckingham), penso di costituire nuove soluzioni;
simplificando le mie dimostrazioni e trovando ciò che serve. Ideale in questo
dimensionale.

→ leggono solo uno di grandezze scritte con dimensioni (m, kg, s, \dots)

$$\alpha_i = f(\alpha_1, \alpha_2, \dots, \alpha_N)$$

Ni sono grandezze in gioco. Sono di
esso dimensionale.

sono costante grandezze dimensionali (R)

Ni sono di grandezza dimensionale
inseparabili. Così dimensioni non dipendono
tra di loro.

$$\Downarrow$$

$$R_i = f(R_1, R_2, \dots, R_{N-M})$$

leggono tra N-M
gruppi dimensionali

$$(R_i)$$

cioè numero di
gruppi si riduce
di N. Se es.
ne avranno 5-3
allora solo 2
dimensionali

3/10
dimensioni
(massa,
tempo,
densità)

Ritengo così a ridurre il numero di grandezze in gioco. Inoltre i numeri
 $R_i \rightarrow$ aggiuntivo poco rilevante.

Dico però io parlo di \bar{R} . In $R = \bar{R}(V, D, V)$.

le resistenze
con tributario

deve avere perturbazioni
per far venire ciò.

ogni parte varia solo
una combinazione.

Intensità variazione sotto
Re, allora basta solo per
determinare V e così magari
implicato verso anche Re.

Avendo: $\frac{z_0}{\rho u^2} = f(Re, \frac{\epsilon}{D})$. A sua volta da: $f = \lambda$.

$$z_0 = \delta \frac{D}{4} \lambda \rightarrow \frac{\delta \frac{D}{4} \lambda}{\rho u^2} = \frac{8 D \lambda}{40^2} \cdot \frac{1}{8} \frac{D \lambda}{\frac{u^2}{g}}$$

$$\frac{1}{8} \frac{D \lambda}{\frac{u^2}{g}} = f(Re, \frac{\epsilon}{D})$$

λ : **Pattern di attrito**
(numero d'attrito)
di carico
adimensionale

$$\lambda = \frac{D \lambda}{\frac{u^2}{g}} = f(Re, \frac{\epsilon}{D})$$

Pattern $\frac{1}{8}$ è
una costante,
influenza

La cosa per calcolare λ , in funzione delle altre
grandezze.

$$\Rightarrow \boxed{\lambda = \frac{1}{8} \frac{u^2}{g D}} \quad \text{con } \lambda = \lambda(Re, \frac{\epsilon}{D})$$

Legge di Darcy-Weisbach

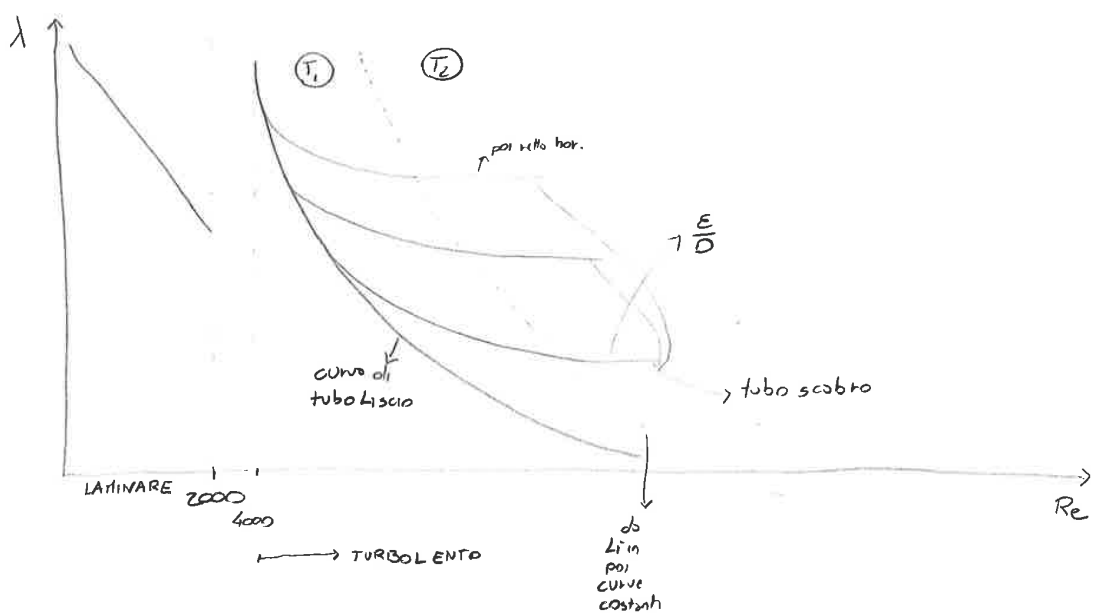
Si parla di λ se si tiene conto delle perdite

Se siamo dentro un tubo curvo λ è sempre più D minore.

Più λ è grande calcolare λ , che sono di tipo empiriche.

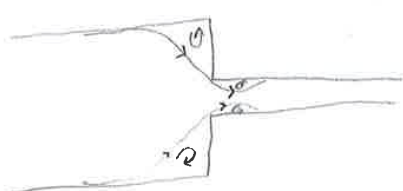
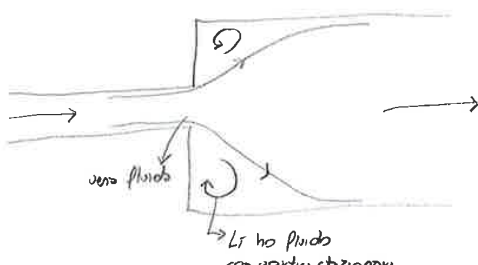
Diagramma di Moody (con data λ in funzione Re e $\frac{\epsilon}{D}$)

Non sono regolari:



Di cui in buona linea da $\frac{\epsilon}{D}$. $\uparrow \frac{\epsilon}{D}$, curva più in alto nel diagramma.

Laminare; $\lambda = \frac{64}{Re}$ obiene la curva, l'area, l'area non scollegata.
Trovato empiricamente. In Darcy, se la rete l'area
scollegata diventa in rete lamina.



$$\Delta H_{cav.} = K \frac{U^2}{2g}$$

→ termo cinematico
→ dipende da geometria e condizioni

Dissipa silenziosa di fluido. Ho delle correnti di rotolamento. Dissipa calore e calore fluido.

Allargamento: crea più diffusori che resistono solo a quote alte oltre 2000 m. I primi sono i primi diffusori minori.

$\rightarrow U \rightarrow \checkmark$ vortici \rightarrow dissipazione

$$Se Re molto lento \rightarrow \kappa = \kappa(R_e, \text{geometria})$$

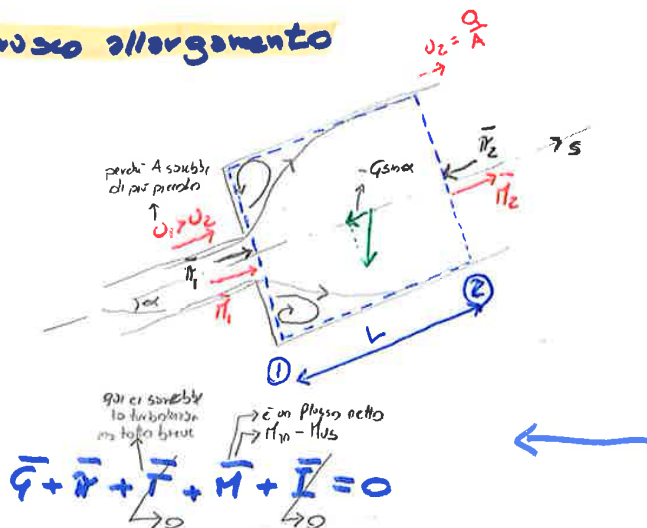
8-11-17

Punto di curva

- disturbato $\Delta H = jL$
- costante $\Delta H = K \frac{U^2}{2g}$

Ora ci abbiamo solo quelle costanti.

brusco allungamento



Punto oggetto lungo S, cui ottene il moto:

$$-G\sigma_{00} + T_1 - P_2 + M_1 - M_2 = 0$$

allungamento in direzione $\sim D$. Due punti da valutare per bilancio di forze.

Aj: est. diametro maggiore.

Sotto eq. globale bilancia sul moto: ipotesi:

→ risultante forze tangenziali

$$\Delta H_{dist.} \approx 0 \leftrightarrow T = \delta W j = \delta A L j$$

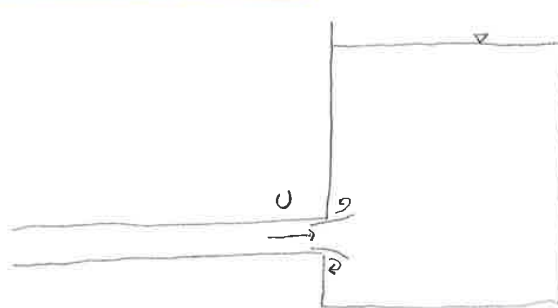
$$\Delta H_{dist.} \approx 0$$

- distribuzione idrostatica pressioni con azione ①. Juro solo con pressuristico. A rigore non sarebbe vero perché ha: variaz.

$$\frac{\partial V}{\partial t} \approx \text{permette}$$

30

. perdite di sbocco



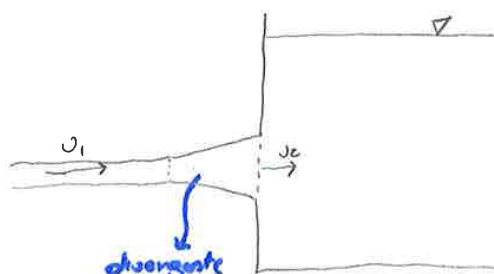
Punto da punto di buco allargato, ma con $U_2 \geq 0$ e $U_2 = U$.

Quindi

$$\Delta H = \frac{U_2^2}{2g}$$

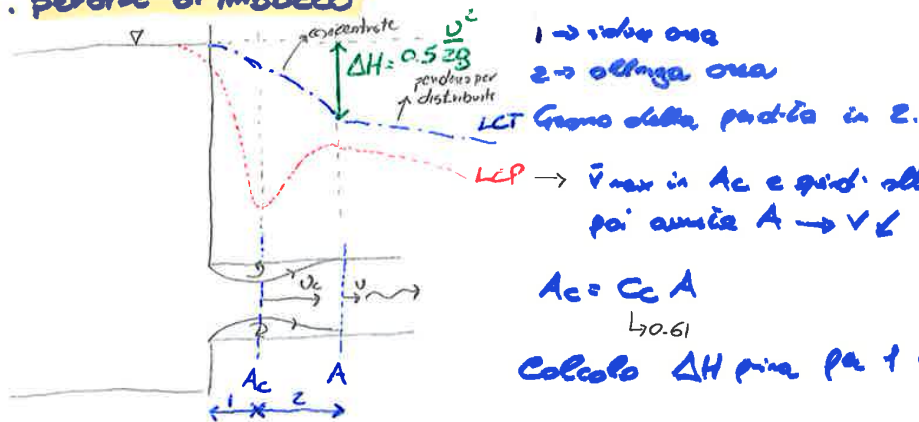
\rightarrow termine cinetico
del fluido.
Dissipato tutto en. cinetico in quanto
Fluido si deve fermare.

Per risparmiare energia serve valori tenere
cinetico. Lo si fa aumentando diametro
in parte tenuta costante.



\hookrightarrow è una variazione di sezione, ma
se ben progettato non dissipato.
Non può essere troppo corto
senza che se avesse brusco
allargamento.

. perdite di imbocco



1 → valva ora
2 → allunga ora

LCT \rightarrow Grado della perdita in 2.

LCP \rightarrow Vmax in Ac e quindi allora riscontrabile
poi aumenta A \rightarrow V ↓ e quindi riscontrabile

$$A_c = C_c A$$

$\hookrightarrow 0.61$

Calcolo ΔH prima per 1 e poi 2.

1 → si allunga ora fluido. Sono a pochi effetti.

Se no perdite: U_{tan}
 \hookrightarrow vell. in regime costante

con perdite: $U_c = C_v \cdot U_{tan}$
 $\hookrightarrow 0.98 \div 0.99$

$$\Delta H_1 = \frac{U_{tan}^2}{2g} - \frac{U_c^2}{2g} = \frac{(U_c/C_v)^2}{2g} - \frac{U_c^2}{2g} = \frac{U_c^2}{2g} \left(\frac{1}{C_v^2} - 1 \right)$$

$$\text{inoltre } U_c A_c = U A \rightarrow U_c = U \frac{A}{A_c} = \frac{U}{C_c} \quad \text{rest. 2:00}$$

\hookrightarrow perdite minori
tendente su
velocità costante
e non regime costante

$$\Delta H_1 = \frac{U^2}{2g} \frac{1}{C_c^2} \left(\frac{1}{C_v^2} - 1 \right) \quad \hookrightarrow N.O. 1$$

$$\Delta H_1 = 0.1 \frac{U^2}{2g} \quad \text{per prima fatto fissa}$$

cioè 1% di termine cinetico

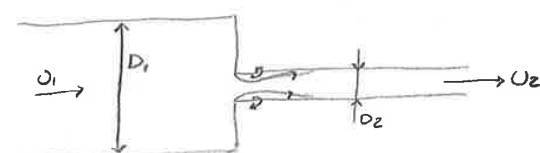
3/1

14-11-17

Si sono viste alcune perdite di corso coniate. Esse sono di:

- .imboceo
- .sboceo

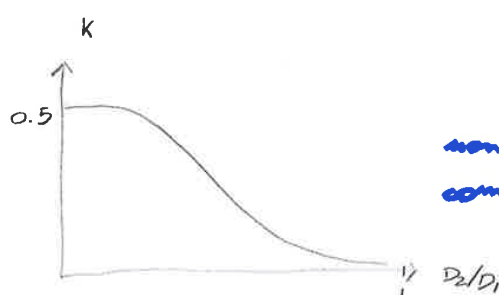
brusco restrinimento



maggior perdita in D_2 che maggior
Questa perdita è verificata per via sperimentale.

$$\Delta H = k \frac{U_2^2}{2g}$$

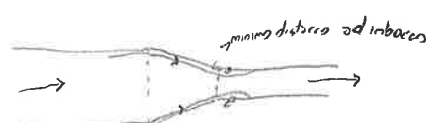
$$k = \pi \left(\frac{D_2}{D_1} \right)$$



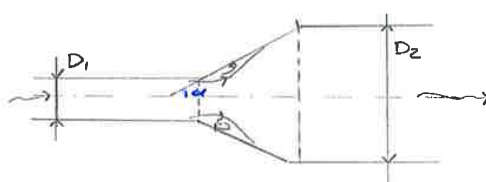
minima perdita di corso è molto bassa cioè,
come imboceo non raccoglie

D_2/D_1	K
0.3	0.4
0.5	0.3
0.7	0.2
0.8	0.1

convergenti e divergenti



se convergenti non c'è corso $\Delta H_{\text{corso}} \approx 0$



Qui una serie di buchi allargando un
più marzio di convergenza.

Qui lo sforzo calibra.

$$\Delta H = k \frac{U_2^2}{2g}$$

$$k = k \left(\frac{D_2}{D_1}, \alpha \right)$$

Totale: lo sforzo deve essere soluzio di geometria.

BILANCIO ENERGETICO CONDOTTA

36

$$P_M = \gamma Q H_M \quad P_V = \gamma Q H_V \quad P_H > P_V$$

Potenza elatica: $P_{\text{elatica}} = P_H - P_V = \gamma Q (H_M - H_V)$

$$\text{Peffettivo} = \eta \cdot P_{\text{elatica}} = \eta \gamma Q \Delta H_T$$

L'rendimento < 1

ΔH_T
dipende dal sito.
Se qui considerato come costante.

Succo di limone sanguinato

$$H_i - \Delta H_{mb} - \dot{s} L_1 - \Delta H_T - \dot{s} L_2 - \Delta H_{sb} = H_e$$



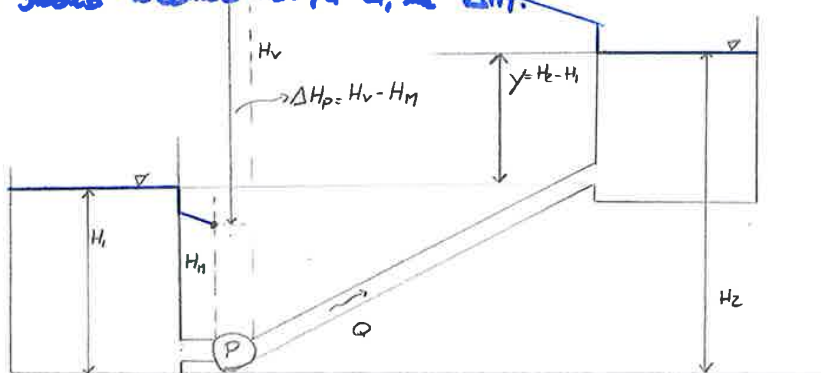
$$\Delta H_T = (H_i - H_e) - \dot{s} (L_1 + L_2) - (\Delta H_{mb} + \Delta H_{sb})$$

Y

$\Delta H_{dist.}$

$\Delta H_{conc.}$

Dato che non si vuole la perdita, più grande ΔH_T , più grande $P_{\text{effettivo}}$. Qui succo di limone non ha Q , ma ΔH_T .



ΔH_p ; prevalenza

Preciso $P_V > P_H$

$$P_{\text{elatica}} = \gamma Q (H_V - H_M)$$

qui do io potere del fluido.

$$\text{Peffettivo} = \frac{\eta}{2} \frac{P_{\text{elatica}}}{\Delta H_p} = \frac{\gamma Q \Delta H_p}{2}$$

L'ipervite mi serve più energia

$$H_i - \Delta H_{mb} - \dot{s} L_1 + \Delta H_p - \dot{s} L_2 - \Delta H_{sb} = H_e$$

↓
x ricavo
dallo esterno

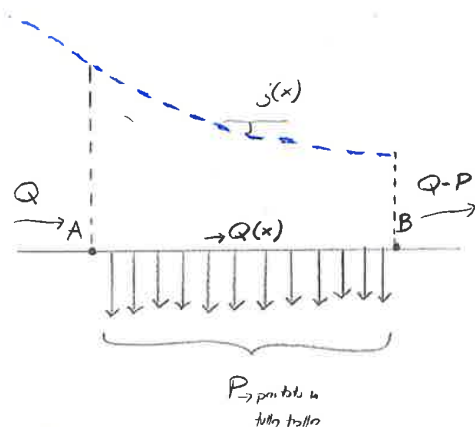
$$\Delta H_p = (H_e - H_i) + \dot{s} (L_1 + L_2) + (\Delta H_{mb} + \Delta H_{sb})$$

Quindi, prima do il ricavo e l'uso per ricavare da poco.

Ho controllato gravità e
perdite. $\uparrow \Delta H_p$ è \uparrow cost.

Poi scrivo anche Buongiorno caro professor Sestini va bene o dico intervento.

Erosione h₀ distribuita



Dato molto poco. Dico solo che
accade in modo continuo, e Q deve rimanere
continua, quindi: $Q(x)$.

Ho per $j(x)$ è già scritta e posso.

$$H_A - H_B = \int_A^B j(x) dx \quad \text{in teoria. Scrivendo vicino alla:}$$

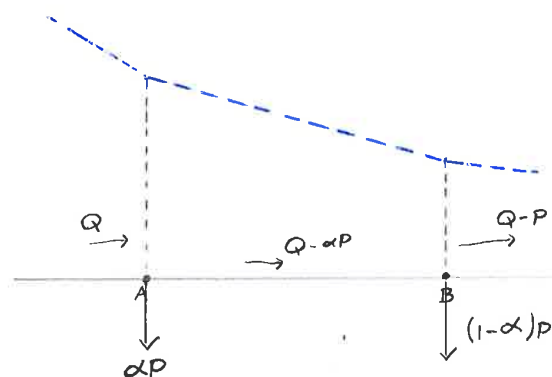


immagine di erosione concava
in modi A.B.

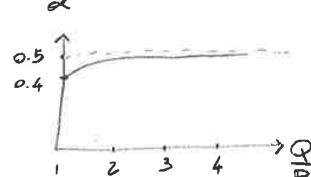
Allora ora va $j = \cosh$,
dai pietrifici come.

$$H_A - H_B = jL = B \frac{(Q - \alpha P)^2}{P} \cdot L \quad \text{②}$$

Dunque \downarrow da formula precedente di
primo

Dove avere ① = ②

$$\Rightarrow \alpha = \alpha \left(\frac{Q}{P} \right)$$



Per non parlare delle regole
di calcolo $\alpha = 0.5$
ci vuole, insomma
tante doti tutte a propria effettiva

Ci:

Ho problemi \rightarrow scrivono; calcolo Quale è corretto.

\rightarrow progetto; calcolo dicono quale Progetto

Eccover sono le stesse, con differenze apparenti.

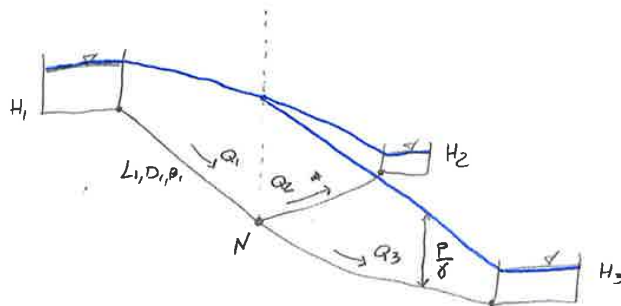
\downarrow $\frac{Q}{P} = 1$ tutto ciò che viene sborsato
è erogato. Se prendo $\alpha = 0.5$
sbaglio di poco.

ovvero di tutte
portate ne disegno
metà al primo e
metà al secondo.

Bilancio energ.

$$H_1 - H_2 = \dot{S} L = \beta \frac{Q^2}{D_n} \cdot L \rightarrow Q = \sqrt{\dots} \quad \text{la soluzione è nulla.}$$

o. the serbatoi



$$\left. \begin{array}{l} L=3 \\ n=1 \end{array} \right\} 4 \text{ incognite} \\ (Q_1, Q_2, Q_3, H_N) = ?$$

ipotesi senso di Q_2 (ma non è vero).

Quindi $H_1 > H_2$ anche se non so uscire H_1 . Però per quel percorso si deve soddisfare così
tutti i conti della rete $E=0$.

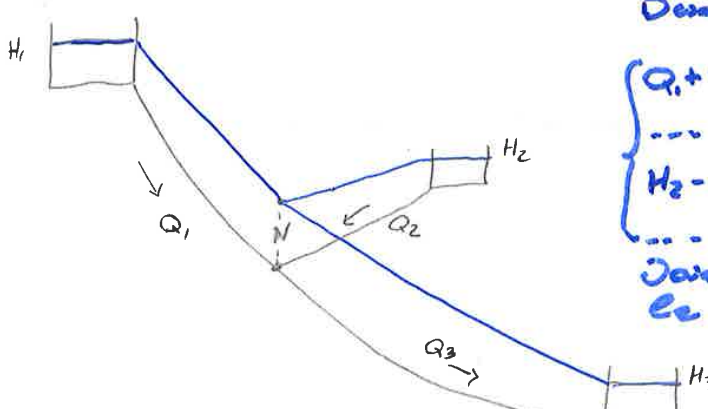
in modo: $\left. \begin{array}{l} Q_1 = Q_2 + Q_3 \quad \text{eq. continuità} \\ H_1 - H_N = \dot{S} \cdot L_1 = \beta \frac{Q_1^2}{D_1} \cdot L_1 = K_1 Q^2 \end{array} \right\}$

$$H_N - H_2 = K_2 Q_2^2$$

$$H_N - H_3 = K_3 Q_3^2$$

Lo stesso si dice
diametralmente.

$\rightarrow Q_1, Q_2, Q_3, H_N$ le ricco a ricavare. Se poi indichiamo a priori
che condiz. debba essere risolta. Se verso Q_2 ipotizzato obiettivo,
il sistema non ha soluzioni.



Due congrue equazioni:

$$\left. \begin{array}{l} Q_1 + Q_2 = Q_3 \\ H_2 - H_N = K_2 Q_2^2 \end{array} \right\}$$

Danno quelle due equazioni. Ora bisogna
le soluzioni del sistema.

$$\boxed{\Delta Q_i} = \frac{P(\bar{Q}_i)}{P'(\bar{Q}_i)} = \frac{-\sum k_i \bar{Q}_i | \bar{Q}_i |}{\sum k_i | \bar{Q}_i |} \quad \text{con } \bar{Q}_i \text{ sono le correnti.}$$

Dopo una iterazione, perciò questo momento lo chiamiamo.

Quindi in genere calcolo $\bar{Q}_i^{(1)}$ $\xrightarrow{\text{primo tentativo}} \rightarrow$ calcolo $\Delta Q^{(1)}$

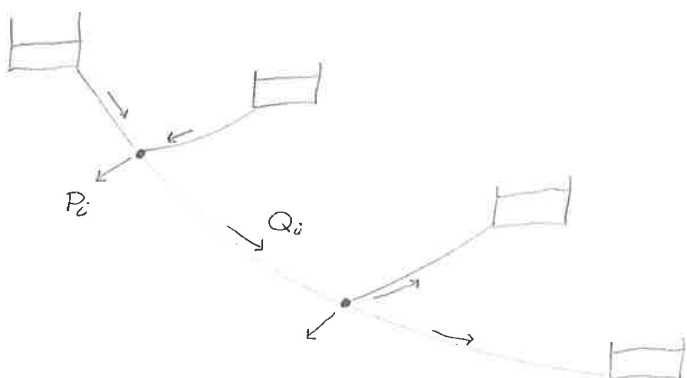
$$\bar{Q}_i^{(2)} = \bar{Q}_i^{(1)} + \Delta Q^{(1)} \quad \text{ma sono tutte le cose.}$$

$$\hookrightarrow \Delta Q^{(2)}$$

.... ripeti. Ad ogni iterazione ΔQ diminuisce perciò si arriverà ogni volta a una soluzione. Di norma fanno 2-3 iterazioni.

21-4-17

Progetto di reti aperte - lunghe condotte



$$e=5 \\ n=2$$

Note:

- . carichi serbatoi (H_s)
- . prelievi/immissioni ai nodi (P_i)
- . portate in rete (Q_i)
- . condotte (L_i, B_i)
 - \hookrightarrow scelta materiale
 - \hookrightarrow lunghezza già scelta

Incognite:

- . diametri (D_i) $e?$
 - . carichi nodi (H_i) n \hookrightarrow totale $e+n$ incognite
- Ne ho bisogno per le verifiche

Equazioni:

. bilanci energici; $H_i - H_{i+1} = B_i \frac{Q_i^2}{D_i^2} L_i \rightarrow e$ come per verifica

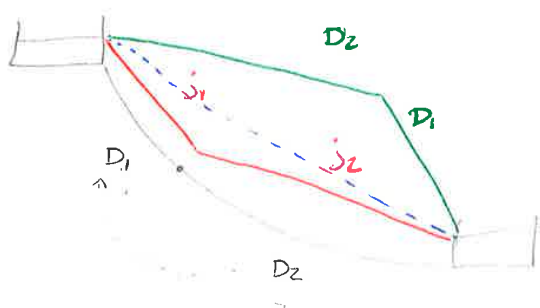
. continuità; $\sum Q_i + P_i = 0 \rightarrow e$ equaz. iniz.

\hookrightarrow bilancio di massa sui nodi. Hanno Q, P che però sono note. Non mi serve.

Ha problema indeterminato (n gdc)

Qui si raggiunge il costo.

b) Ora è dei diametri



per diametro più piccolo
di D_1
di D_2

Bilancio

$$\begin{cases} H_1 - H_2 = J_1 L_1 + J_2 L_2 \\ L_1 + L_2 = L \end{cases}$$

Incorreggibile.

\downarrow

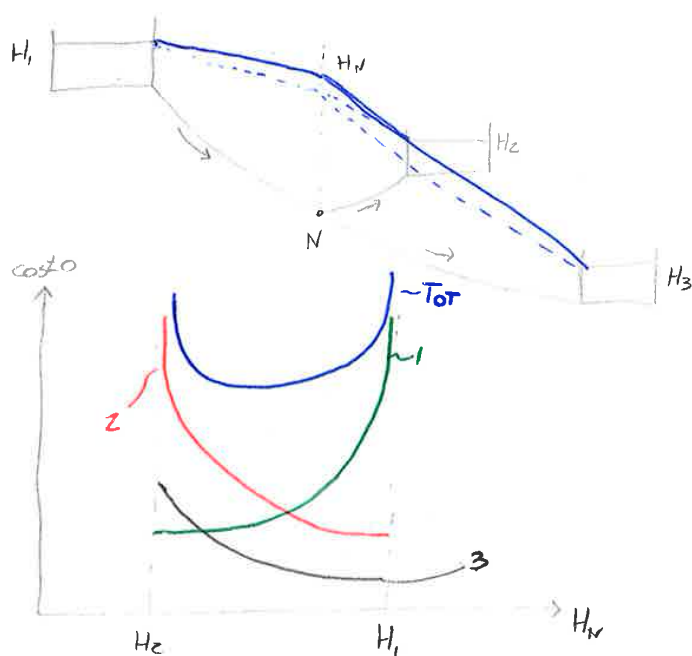
trovo L_1, L_2

Ancor costi inferiori, anche se lavora su più condutture. Di norma si applica dove mette diametri. Il caso ~~a~~ ha problemi più fermi, quindi Ristori e quindi si calcola uno ed è uno a singola tubatura o creare parallelo.

Poss. minima è dove pietromelita arriva a zero e non dava errore (0, ma >0 e con poco di sicurezza). Unico caso che l'uso pietromelita oltre L è un solo al quale punzoni fanno, legge, riscrivendo di adattare in dimensione.

Osservazione → progetto con Bassetti. Dopo varie gabelle come scelta, scelti sul capo inizio ad avanzare. Poi per chiave per una scelta di come l'istituto si confronta con Bassetti.
E' un modo che J_1 e così lo stesso nel lungo che altro snodato. Dopo anche qui' si calcola soltanto al diametro. Trovo come caso a).

equazione di minimo costo - condotte a graticia



1 gde → 1 n

$H_0 \leq H_2 < H_N < H_1$

↓
in questo intervallo ha 00 possibili configurazioni:

Costo al diametro

$$H_N \rightarrow H_1 \quad J_1 = \frac{H_1 - H_N}{L_1} \rightarrow 0$$

cioè H_N circa H_1

$$J = \frac{P Q^2}{D^5}$$

$\Rightarrow \left\{ \begin{array}{l} D_1 \rightarrow \infty \\ \text{Costo} \rightarrow \infty \end{array} \right.$

$\hookrightarrow J_1 \text{ con } D_1^2$

$H_N \rightarrow H_2 \quad J_2 \rightarrow 0$

$\Rightarrow \left\{ \begin{array}{l} D_2 \rightarrow \infty \\ \text{Costo} \rightarrow \infty \end{array} \right.$

Bx

Se un impianto è un circuito di pompa solo eq. di mino costo al modo:

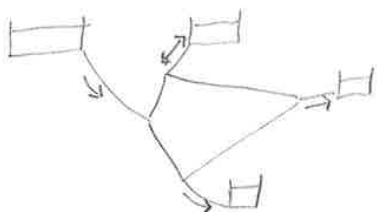
$$\frac{D_1^{n+E}}{Q_1^2} = \frac{D_2^{n+E}}{Q_2^2} + \frac{D_3^{n+E}}{Q_3^2}$$

sul nodo N

↓ IN ↓ OUT

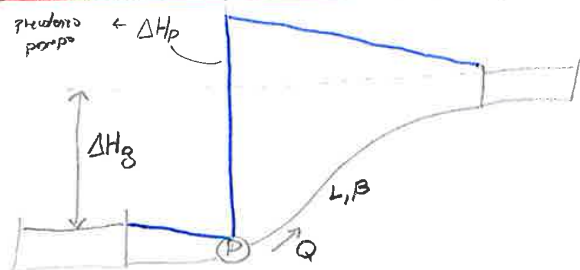
Hb con 4 eq. in 4 incognite. Tiene soluzion istantanea e non mino il costo o meglio parola: una.

Solti ut. che dare anche con eq. mino entro oggi indebolimento resistenza.



Per un che con portati al contrario. Le perdite nelle tubazioni sono tutte sole a priori; così le incognite aggiuntive e sono parlate ai lati della maglia.

dimensionamento condotto - con impianto pompa (sollevamento)



ΔH_p ; perdita pompa
 ΔH_g ; perdita geodetica

Alta incognita, alle D è costante pera.

$$H_i = \text{pendite} + \text{presurza} = H_2 \rightarrow \Delta H_p = (H_2 - H_1) + \beta \frac{Q^2}{D^n} L$$

\equiv incognite

D fisico → costo ridotto costante, ma deve avere $\Delta H_p \uparrow$ quindi mino netto.

Se $D \uparrow$, $\Delta H_p \downarrow$

La seconda eq. → min $P_A = P_{imp} + P_{en}$

↓
già visto
prima

($D \uparrow P_{imp} \uparrow$)

Anelito P_{en} si può dare da:

- costo energia (E/kWh); con
- potere pompa (kW); P
- tempo funzionamento pompa ($\frac{h}{anno}$); T

$$P_{en} = \text{con} \cdot P \cdot T = \text{con} \cdot \frac{9.8 Q \Delta H_p}{\eta} T = \text{con} \cdot \frac{9.8 Q T}{\eta} (\Delta H_g + \beta \frac{Q^2}{D^n} L)$$

$\xrightarrow{\text{pendite pompa}}$

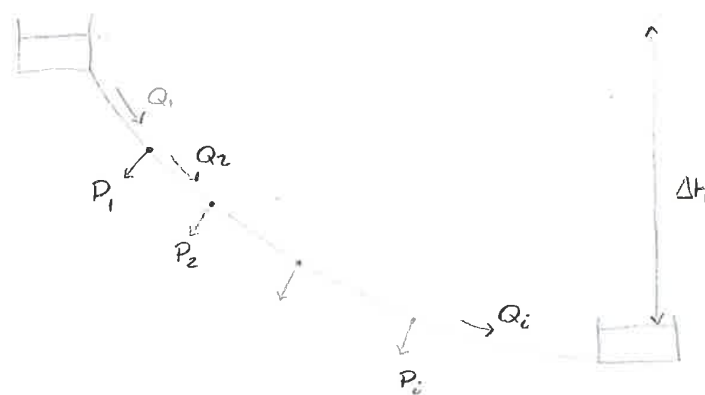
$\xrightarrow{\text{grandezze idrauliche}}$

$$\xrightarrow{\text{L rendimento}}$$

Ora cosa va mino è D.

($D \uparrow P_{en} \downarrow$).

22-11-17



Le evogazioni possono essere
degredate per vani comuni oppure
molte distribuite che possono scatenarsi
come concentrate.

Questo è problema di progetto. Noti: ΔH , L_i , B_i , P_i , Q_i . Ho controlli diversi.
Punto scuro della eq. bilancio da inizio a fine:

$$\Delta H = \sum B_i \frac{Q_i^2}{D_i^n} \cdot L_i$$

Allora ci sono eq. di minimo costo. La condotta in serie da P_1 , quella con P_2 , è
minore della precedente. Allora eq. minimo costo:

$$\frac{D_i^{n+E}}{Q_i^2} = \frac{D_2^{n+E}}{Q_2^2} = \text{non ha con } P_1 \text{ per quanto detto prima} \quad \cdot \frac{D_3^{n+E}}{Q_3^2} = \frac{D_4^{n+E}}{Q_4^2} = \dots = \frac{D_i^{n+E}}{Q_i^2} = \text{cost}$$

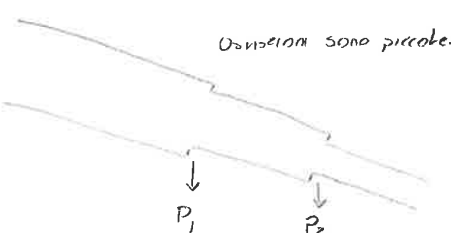
Invece sono: 5 diametri regolari: D_1, D_2, D_3, D_4, D_i . Per ciascuno solo due, così non
mi coprono tutti insieme con Q_i so e posso avere una equazione:

Così eq. minimo costo si calcola come via obiettivo.

Se applicato D → $\frac{D_i^{n+E}}{Q_i^2} = \text{cost.} \rightarrow D_i = (C Q_i^2)^{\frac{1}{n+E}}$

il diametro scalo con Q_i , che varia
sulla decesse

$$D_i \propto Q_i^{\frac{2}{n+E}} \xrightarrow[n+2]{\text{BS}}$$



Dimostra se l'uno con lo stesso diametro i pezzi si mette
in paralelo.

Problemi che altimetriche

In alcuni casi, ad esempio primi approssimati su parata in corobria.

⑤ Se oltre $\frac{P_{atm}}{g}$, quindi $g=0$ l'acqua non avrebbe, in nessun caso, nessuna reazione.
 Se $Z_N \geq H$, $\rightarrow Q=0$. Punto solo mater con P_{atm} , ma più gravità non funziona.

Risult: pressione condotta costante in elevi corri.

CORRENTI A SUPERFICIE LIBERA

Fiumi, canali, laghi. È comune in cui parte superficie continua e a contatto con l'atmosfera.

$$P_{atm} = 0$$



Superficie libera $\rightarrow P=0$. Così solo che non ha gravità variazioni di pressione.

relativa

ΔP piccole, ottenuta pressione come incontinuale $\rightarrow P = \text{cost.}$

Ipotesi superficiali:

• corrente gradualmente orizzontale;

$$Q = Q(s, t), A = A(s, t), h = h(s, t) \rightarrow \text{stabilità idraulica}$$

ma spesso ha una sola
corrente. Quella che
segue il corso d'acqua.

ogni sezione ha
distribuzione di
corrente primaria

per le pressioni.

$$J = U(s, t)$$

$$\cdot \text{moto turbolento; } Re = \left(\frac{UD}{\nu} \right) = \frac{4UR}{\nu}$$

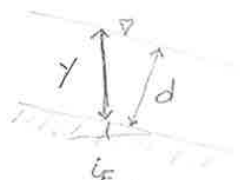
es.



$$D = 1 \text{ [m]} \text{ [s]}$$

$$Re = \frac{4 \cdot 1 \cdot 1}{10^{-6}} = 4 \cdot 10^6$$

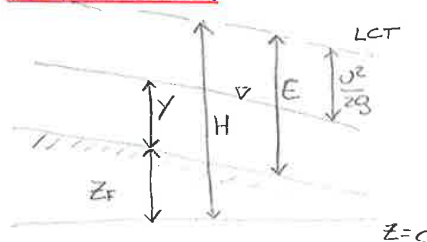
• deboli pendenze fondo (ip)



$$d = y \cos \alpha \rightarrow d \approx y$$

$$i_F \leq 5-10\%$$

DEFINIZIONI



La LCT è più alta
H; corso d'acqua

cif ①

Le due equazioni sono quelle di De Saint Venant.

Moto uniforme

No soluzioni spaziali/capaci, ob: y, σ, E, \dots

Con queste grandezze costanti, ho la stessa grandezza d'acqua da tutti gli strati sonanti (es. estinguimento risonante).

Prendo $\frac{\partial \sigma}{\partial z} + \frac{1}{g} \frac{\partial y}{\partial z} = i_F - j \rightarrow i_F = j$ cadente coincide con pendenza del fondo

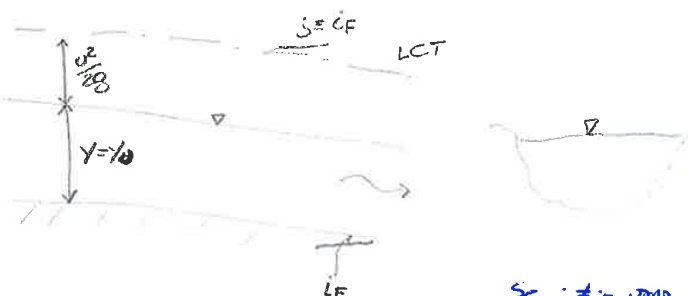
$$(E = y + \frac{\sigma^2}{2g}) \quad H \text{ non è costante, se dunque, diminuisce.}$$

$\downarrow \text{cost.}$ $\downarrow \text{cost.}$

$$\frac{\partial Q}{\partial z} + \frac{\partial A}{\partial z} = 0 \rightarrow Q = \text{cost.} \quad \text{Rango 3}$$

$\downarrow \text{può variare se ho un punto di immissione}$

Riprendo fino a qd. e caso di altre questioni su corall. costante.



sezioni le considero costanti, o meno di enormi variazioni.

Se $j \neq i_F$ sono termini critico o proibitivo. Qui no perché uniforme moto.

LEGGE DI CHEZY

$v = \chi \sqrt{R \cdot i_F}$ raggio idraulico
 ↓ velocità conc. che tiene conto scorrimento

$$Q = Q \cdot A = A \chi \sqrt{R \cdot i_F}$$

ab² m perde di quota se y in moto s'afe.

Se non ho moto uniforme, quindi permanente o vario:

$$v = \chi \sqrt{R \cdot j} \longleftrightarrow j = \frac{v^2}{\chi^2 R} \quad \text{dissipazioni energetiche}$$

Chezy → cost per moto irregolare permanente sviluppato.

coefficiente di Chezy χ

$$\chi = K_S R^{1/6} \quad (\text{Gaukler-Shikler})$$

\downarrow rapp. sobrietà

(trovo in tabelle in base a materiali)

(1)

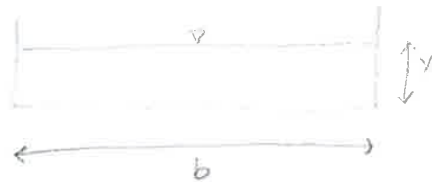
Se sezione rettangolare lunga

$$A = b \cdot y$$

$$P = b + 2y \approx b$$

$$R = \frac{A}{P} \approx \frac{by}{b} = y$$

$$\text{Se tutto ciò è legge che: } Q = A \cdot U = b \cdot y \propto \sqrt{R \cdot f} = b \cdot K_s \sqrt{f} \cdot y^{5/3}$$



$$y \propto R^{1/3}$$

Nel Dl braga con d.
Per scelta difensiva.

Problemi di progetto

Not.: Q, i_f

. Ipotizzro: sezione (rettangolare/rettangolare)

geometria (rettangolare/copera)

Lunghezza

↳ confronta lunghezze diverse, ipotizzando ogni vallo y.

e calcolo $y \rightarrow A, U, \dots$

Salgo in base a:

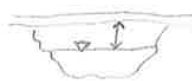
. costo scavo

. costo investimenti (riabblicio - opere).

↳ anche per sezione

. velocità sedimentazione

. piano di sicurezza

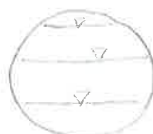


CASI PARTICOLARI

SEZIONI CHIUSE

Per anta "chiuso",

$y \uparrow, R \uparrow$



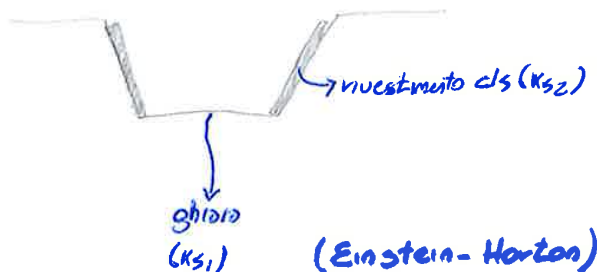
Qui invece $y \uparrow, R$ ha un max

$A \uparrow \quad ? R \downarrow$
 $P \uparrow \quad \}$

L^2

A, B, C possono avere anche coefficienti differenti.

SEZIONI CONPATE CON SCABREZZA VARIABILE



(Einstein-Horton)

Ma per usare Chézy ottime imposte.

Diamo a cost. equivalente:

$$k_s^{eq} = \left[\frac{P_{TOT}}{\sum \left(\frac{P_i}{k_{s_i}^{3/2}} \right)} \right]^{2/3}$$

P_i : perimetri bagnati relativi di k_{s_i}

Caratteristiche energetiche delle correnti a sup. libera

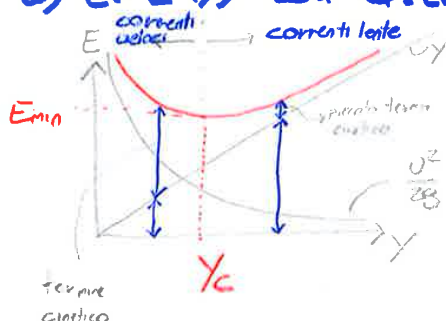
caso specifico:

$$E = y + \frac{U^2}{2g} = y + \frac{Q^2}{2g A^2(y)}$$

$$\rightarrow P(E, y, Q) = 0$$

Così si sede solo per qualsiasi tipo di moto.

a) $E = E(y)$ con $Q = \text{cost.}$



E , somma di y e $\frac{U^2}{2g}$, dura' un minimo.

y_c : profondità critica. L'è lo E_{min} .

Correl. Prof. e veloci si esibiscono in modo completamente diverso che specie.

29-11-17

Corrono a idr. staz. che portata Q cresca, il caro ha minima E mentre per la pma portata Q sulle rive.

O maggi proattività Q pma chiudono le rive con la minima energia (E_{min}). Sotto E_{min} non pma portata di doglio.

$$\text{Doglio soluz. } y_c \rightarrow \frac{dE}{dy} = 0 = 1 + \frac{Q^2}{2g} \frac{dA^2(y)}{dy}$$

$$\frac{dA^2(y)}{dy} = \frac{dA^2}{dA} \cdot \frac{dA}{dy} = -2 \frac{1}{A^3} \cdot b$$

perché $y \propto A$
quindi $y \propto \frac{1}{A}$

quindi $y \propto \frac{1}{A}$
lavoro & moto

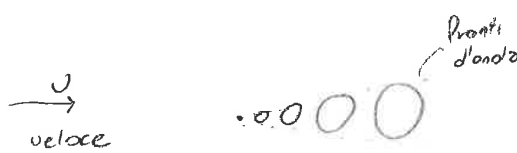
$$1 - \frac{Q^2}{2g} \cdot \frac{2b}{A^3} = 0$$

63

$$F_r > 1 \quad \omega_c > 0 \quad \omega_r, \omega_n > 0 \quad \text{Onde solo verso destra.}$$

(alora)

A scuola di corrente, se qualcosa di pesante, allora pensa a meccanismo di perturbazione.



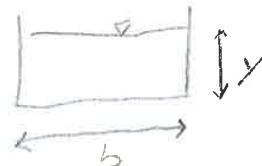
Altri estremi punti non si avranno di cosa è succoso.

Andamento $\frac{\omega}{\omega_c} = \frac{\omega}{\omega_c} \approx \omega_c$, se ω_c è maggiore dell'onda. In risalita con corrente crescente.

Su terr. $R \gtrsim 10^5 \div 10^6$ m non ha grande corrente, dunque poco. Dopo che l'onda ha effetto non si fa sentire.

SEZIONE RETTANGOLARE

$$\frac{Q^2 b}{S A^3} = \frac{Q^2 b}{S \Delta^3 Y_c^2} = 1$$



Dai qui posso calcolare y_c .

$$\rightarrow y_c = \sqrt[3]{\frac{Q^2}{3b^2}} = \sqrt[3]{\frac{q^2}{3}}$$

$q = \frac{Q}{b}$; portata specifica
(portata per unità di lunghezza).

Oggi vediamo quali sono i parametri importanti.

$y_c = p \left(q = \frac{Q}{b}, \text{geometria} \right)$ non si copre la profondità e la velocità per la perturbazione critica.
per rel. stab
 q .

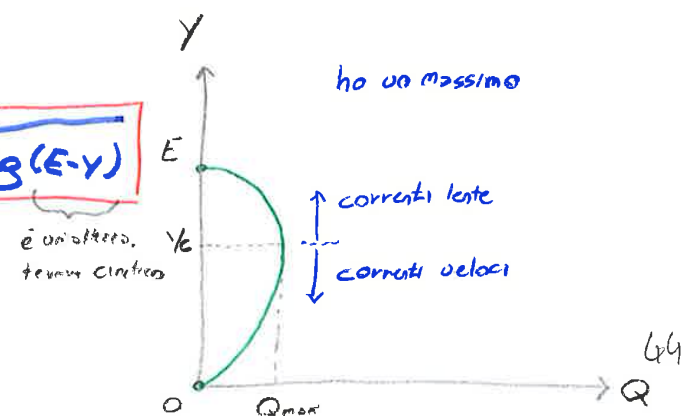
b) $Q = Q(y) \approx E = \text{cost.}$

$$E = y + \frac{Q^2}{2gA^2} \rightarrow Q = A \sqrt{2g(E-y)}$$

Allo zero $y \approx y_c$

$$y=0 \rightarrow Q=0$$

$$y=E \rightarrow Q=0$$



5-12-17

Si ha insomma che gli due:

\Rightarrow debole pendenza; $i_p < i_c \Rightarrow y_0 > y_c$

\Rightarrow forte pendenza; $i_p > i_c \Rightarrow y_0 < y_c$

Poiché oltre la sezione critica $i_p = i_c$ $y_0 = y_c$

$i_p = i_c \Leftrightarrow y_0 = y_c \Rightarrow$ $y_0 \rightarrow$ chezy

$y_c \rightarrow$ da Froude.

Dunque calcolo la perdita critica.

Pendenza critica

$$Q = A Z \sqrt{R \cdot i_c} \quad (\text{Chezy})$$

\downarrow
qui usato
pendenza
critica

$$\frac{Q^2 b}{g A^3} = 1, \quad \text{cioè Froude} = 1 \quad (\text{stato critico})$$

$$\begin{cases} Q^2 = A^2 Z^2 R \cdot i_c \\ Q^2 = \frac{g A^3}{b} \end{cases} \quad \text{dove valori iniziali.}$$

$$A^2 Z^2 R \cdot i_c = \frac{g A^3}{b} \rightarrow i_c = \frac{g A}{Z^2 R b} = \frac{g P}{Z^2 b}$$

$\frac{A}{P}$

Per una sezione larga \rightarrow parabola



$$i_c = \frac{g b}{Z^2 b} = \frac{g}{Z^2} \quad \text{dipende inutilmente da sezione R o profondità.}$$

$$\text{es. } R = 1 \text{ [m]} \quad x_s = 50 \quad [\text{m}^{1/2} \text{s}^{-1}]$$

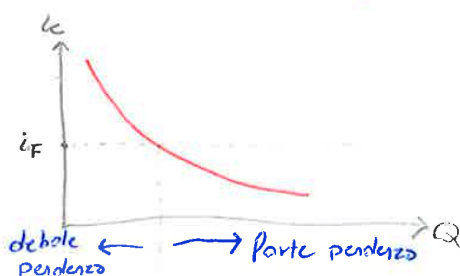
$$\rightarrow i_c = \frac{g}{Z^2} = \frac{9.81}{(x_s R^{1/2})^2} = \frac{9.81}{50^2} \approx 0.004 = 4\%$$

Zona perdonante.

Se $Q \uparrow$ $R \uparrow$ $i_c \downarrow$

$$i_c = i_c(Q)$$

\downarrow calcolato per uno
certo portata



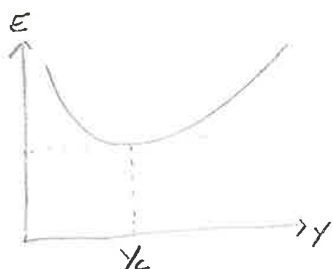
i_c di norma fissata. Quando a volte oltre si parla corrispondente come a debole pendenza, altre volte come a forte pendenza.

115

$$\begin{cases} Y > Y_U & N > 0 \\ Y = Y_U & N = 0 \\ Y < Y_U & N < 0 \end{cases}$$

Siamo interessati per discendere cioè per $N < 0$ cioè $Y_U < Y_C$.

$$D = \frac{dE}{dy} = 1 - Fr^2 \quad \text{con } D=0 \rightarrow Fr=1 \rightarrow Y=Y_C$$



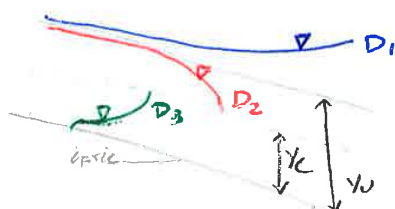
$$\begin{cases} Y > Y_C & D > 0 \\ Y = Y_C & D = 0 \\ Y < Y_C & D < 0 \end{cases}$$

¶

Propri moto permanente

Due tipi di moto sono possibili diversi:

ALVEO A DEDELE PENDENZA



I profili sono retti sia alla collina.

D_3 sotto $Y_C \rightarrow$ quello è corrente veloce
→ deboli perdite.

Sopra Y_U , cioè $Y > Y_U, Y_C$

\downarrow
 $\begin{cases} N > 0 \\ D > 0 \end{cases} \quad \begin{cases} \frac{dy}{ds} > 0 \\ D_1 \text{ tg hor.} \end{cases}$
 Il moto lungo s.
 A marea va in marea antitica,
 velle ~ 0%.

$Y > Y_C \rightarrow$ moto lento e gli
 cui profili sono più ripidi.

$\bullet Y_C < Y < Y_U \quad D_2 \text{ tg. vert}$
 \downarrow

$\begin{cases} N < 0 \\ D > 0 \end{cases} \quad \begin{cases} \frac{dy}{ds} < 0 \end{cases}$

Dinamica progressivamente instabile.

$\bullet Y < Y_C, Y_U \quad D_3$

\downarrow
 $\begin{cases} N < 0 \\ D < 0 \end{cases} \quad \begin{cases} \frac{dy}{ds} > 0 \end{cases}$

Nel corso da destra a sinistra: fondo profili pressionanti.



→ non si ha controllo di profilo e non si può risolvere il problema.

Lo si fa rispetto ad un fondo a fondo di fondo \downarrow specie di onda stazionaria

Il fondaggio avviene per mezzo di calcolare con sezione dritta ed acqua nera ad ora. Come si fa per macerazione.

Le soluzioni sono determinate da: Porte libellare, porto d'imparsone (20, 30)

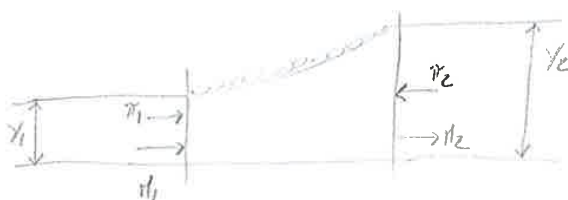
se nulla cambia, legge la $y_1 = y_2$

\downarrow
oltre
congugliate

Si studia l'equazione globale di equilibrio d'acqua in ipotesi di fondo puro e fondo di fondo $\approx T \rightarrow$ si calcola la lunghezza

\downarrow attinto con fondo
e sponde

$$\bar{q} + \bar{\pi} + \bar{T} + \bar{M} + \bar{I} = 0$$



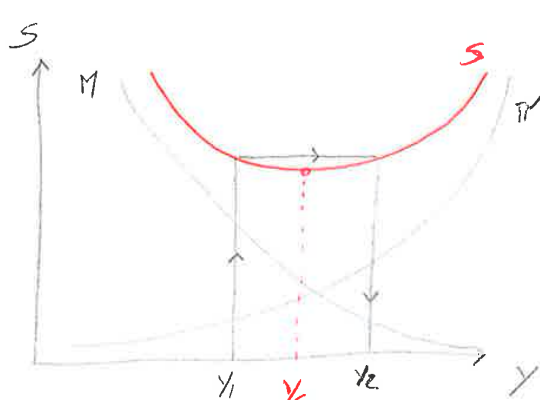
$$P_1 - P_2 + H_1 - H_2 = 0$$

$$P_1 + H_1 = P_2 + H_2$$

punto
totale

$$S(y) = \gamma g A + \rho Q U$$

$S = \pi + M$ π ed M prima contro, ma S deve essere zero



$S(y_1) = S(y_2) \rightarrow$ condizione di risalita,
si giuda verso da
stremamente alle orde.

y_c è minima rispetto alle altre minime segnate.

4t

6-12-17

Rischio n. 2: se $F_r^2 \geq 3$, se $15 F_r^2 r_2$ rischio diretto
se $F_r^2 < 3$ rischio indiretto con frammento. Il piano costipa mollo al punto
secondo uno di tali. In altre parole c'è più facile mettere il rischio
verso. Rischio → allora non vorrei!

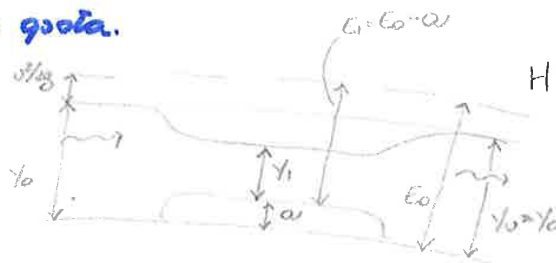
Soglio di Pando

Insieme costituito dalla soglia di Pando. Non pone una reale per-
sa di massa salvo una gola.

Q costante e
onda q .

$Q = \text{cost.}$

$$q = \frac{Q}{b} = \text{cost.}$$



costante testa

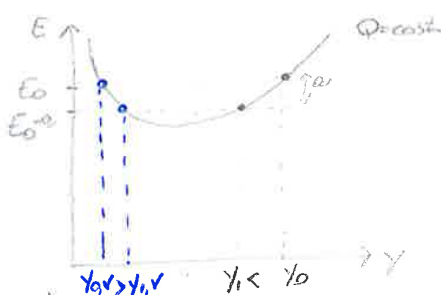
badi sempre la testa
regolare la testa

Sia il campo specifico E nella gola, più alto del resto del canale.

→ andazzo concave

$Q = \text{cost.}$

$$H = E + z_p \quad H = \text{cost.} \rightarrow \text{al massimo livello d'impiego.}$$



costante da canale E_0 o $E_0 - \alpha$

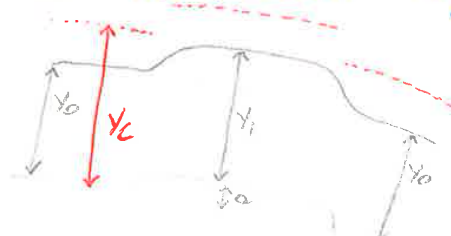
poco ad effetto soglio

Sono in corrente lenta, sono le zone dove
sgorgano. Ha massa profondità: $y_1 < y_0$ in gola.

Se invece in corrente veloce



Se $y_{1,v} > y_{g,v}$ gola sulla y_1 è stata fatta di a ,
non molto y_0 .



corrente
veloce

corrispondono corrente lenta e
velocità d'onda.

$$\text{Se } y_C = y_C(Q, b, a)$$

qui non dicono per y_C
a cosa può essere al
Pando.

Se non troppo elevata. Se a letto sabbia ricca di scisti nello
il minimo della curva è più facile mettere volante.

48